

# Inhalt

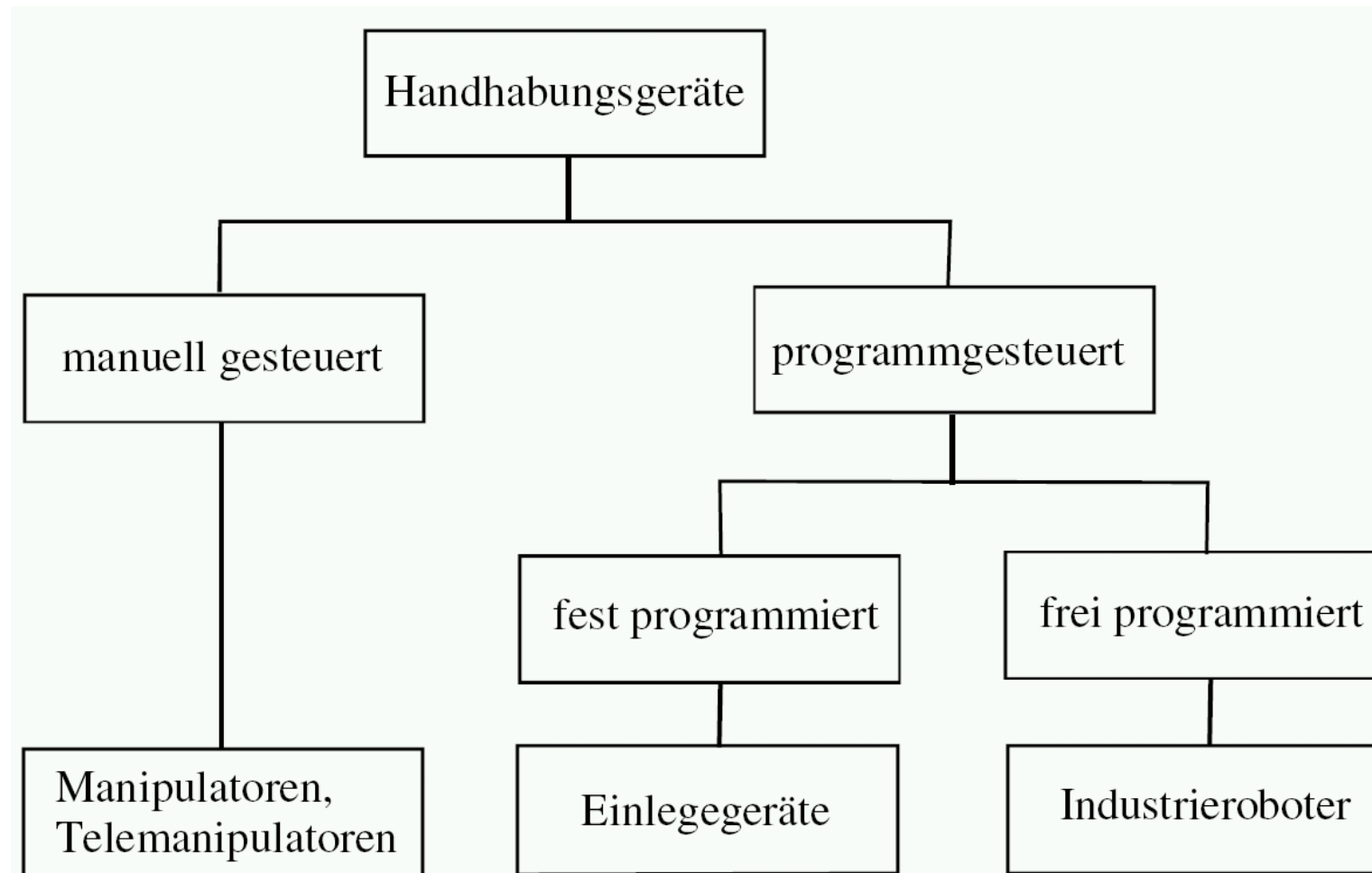
1. Einführung
2. Grundlagen der Kinematik
3. Kinematik mobiler radgetriebener Roboter
4. Sensorik
- 5. Kinematik stationärer Roboter**
6. Aufbau stationärer Roboter
7. Aktorik

# Inhalt

## 5 Kinematik stationärer Roboter

5.1 Begriffsdefinitionen .....	246
5.2 Koordinatensysteme .....	248
5.3 Achskoordinatensysteme nach Denavit-Hartenberg .....	255
5.4 Vorwärtstransformation .....	266
5.5 Rückwärtstransformation .....	278

## Klassifizierung von Handhabungsgeräten



## Industrieroboter

**VDI 2860:** *Industrieroboter sind universell einsetzbare Bewegungsautomaten mit mehreren Achsen, deren Bewegungen hinsichtlich Bewegungsfolge und Wegen bzw. Winkeln frei programmierbar (d.h. ohne mechanischen Eingriff vorzugeben bzw. änderbar) und gegebenenfalls sensorgeführt sind. Sie sind mit Greifern, Werkzeugen oder anderen Fertigungsmitteln ausrüstbar und können Handhabe- oder andere Fertigungsaufgaben ausführen.*

Der stationäre Roboter ist mit seinem Chassis fest mit dem Boden verbunden. Die einzelnen Glieder stützen sich fortlaufend, mit dem Chassis beginnend, aufeinander ab. Sie bilden eine **offene kinematische Kette**, deren letztes Glied das Werkzeug bildet.

Bei Robotern kommen **Drehgelenke** und **Schubgelenke** vor. Die Lage eines Drehgelenkes wird durch den **Drehwinkel**, die Lage eines Schubgelenkes durch die **Ausfahrweite** beschrieben.

## Koordinatensysteme

### Rechtsorientiertes Kartesisches Koordinatensystem:

Die drei Achsen stehen paarweise senkrecht aufeinander. Dreht man die  $x$ -Achse auf dem kürzesten Weg zur  $y$ -Achse, würde man eine Schraube mit Rechtsgewinde in positiver  $z$ -Richtung bewegen (Korkenzieherregel).

Das **Basiskoordinatensystem** ist ein kartesisches Koordinatensystem, welches im ortsfesten Chassis des Roboters festgelegt wird. Alle Stellungen und Bewegungen des Roboters werden, wenn nicht anders angegeben, im Basiskoordinatensystem beschrieben.

Das **Werkzeugkoordinatensystem** ist fest mit dem Werkzeug verbunden. Der Ursprung des Werkzeugkoordinatensystems wird als **Werkzeugspitze** bezeichnet, die Koordinatenrichtungen beschreiben die **Werkzeugorientierung**.

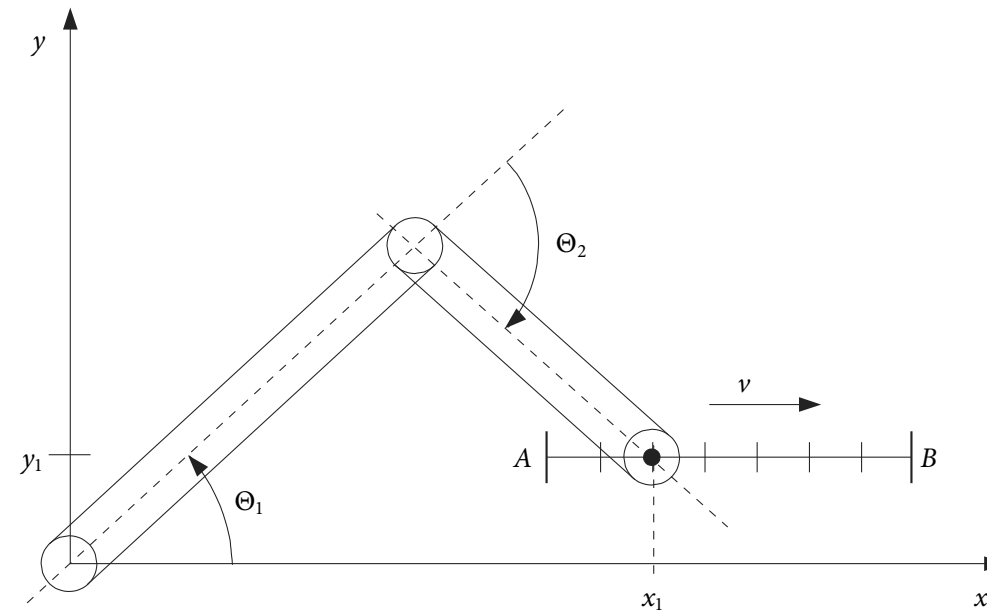
## Freiheitsgrade

Ein Roboter kann mit mehreren räumlich angeordneten Achsen sowohl die Lage als auch die Orientierung des Werkzeuges oder des gegriffenen Gegenstandes verändern. Die sich ergebenden Bewegungsmöglichkeiten werden durch die Anzahl der mechanischen **Freiheitsgrade** beschrieben, die der Roboter besitzt. Die mechanischen Freiheitsgrade (Achsen, Gelenke) des Roboters werden auch Freiheitsgrade des **Konfigurationsraums** genannt.

Ein freier starrer Körper besitzt drei **translatorische Freiheitsgrade** und drei **rotatorische Freiheitsgrade** im **Arbeitsraum** (auch Operationsraum). Bezogen auf einen stationären Roboter heißt das: Damit das Werkzeug in jeder Position jede beliebige Orientierung annehmen kann, muss der Roboter mindestens 6 Freiheitsgrade im Konfigurationsraum besitzen. Durch sinnvolle mechanische Konstruktion besitzt ein Roboter mit 6 Achsen im Konfigurationsraum auch 6 Freiheitsgrade im Arbeitsraum.

Animationen: **Freiheitsgrade**, **Hauptachsen**, **Handachsen**

## Beispiel Ebener Mechanismus



- **Vorwärtstransformation:**  
Bestimmung der Variablen des Arbeitsraums aus den Variablen des Konfigurationsraums. Hier:  
Bestimmung von  $x_1, y_1$  aus  $\Theta_1, \Theta_2$
- **Rücktransformation:** inverses kinematisches Problem  
Bestimmung der Variablen des Konfigurationsraums aus den Variablen des Arbeitsraums. Hier:  
Bestimmung von  $\Theta_1, \Theta_2$  aus  $x_1, y_1$

## Lösungsraum der Rücktransformation

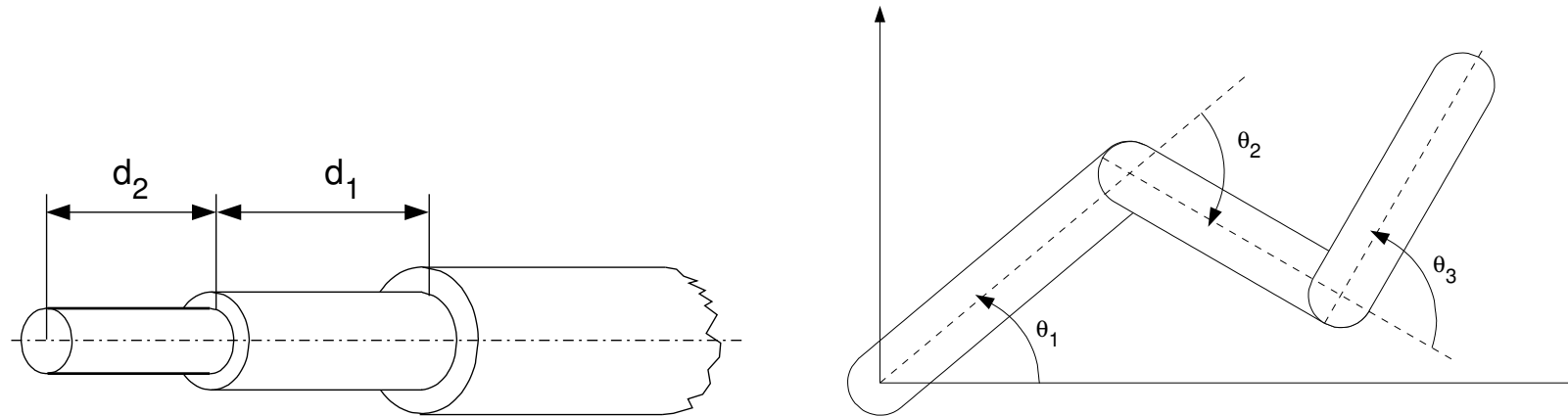
- **Keine Lösung:** Der anzufahrende Punkt liegt außerhalb der Reichweite des Roboters.
- **Eine Lösung:** Der anzufahrende Punkt ist nur in der Streckstellung des Roboters zu erreichen.
- **Endlich viele Lösungen**, (beim ebenen Mechanismus genau 2): Der anzufahrende Punkt ist mit mehreren Stellungen des Roboters zu erreichen.
- **Unendlich viele Lösungen – Singularität:** Der anzufahrende Punkt ist mit unendlich vielen Stellungen des Roboters zu erreichen. Beim Ebenen Mechanismus wäre dies der Fall, wenn beide Armteile gleich lang wären und der anzufahrende Punkt im Gelenk 1 liegt ( $x = 0, y = 0$ ).



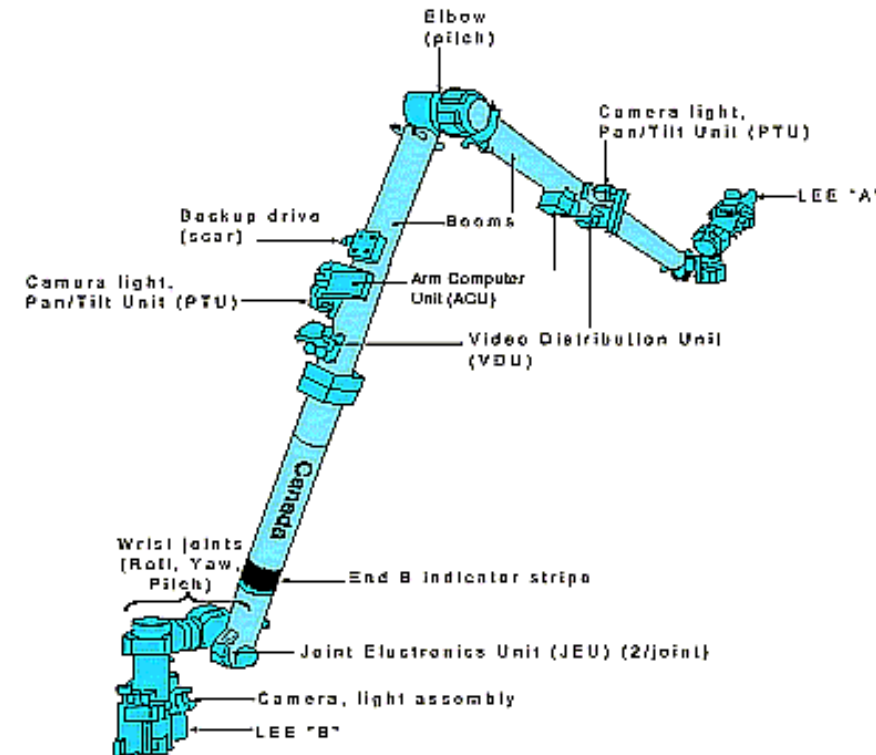
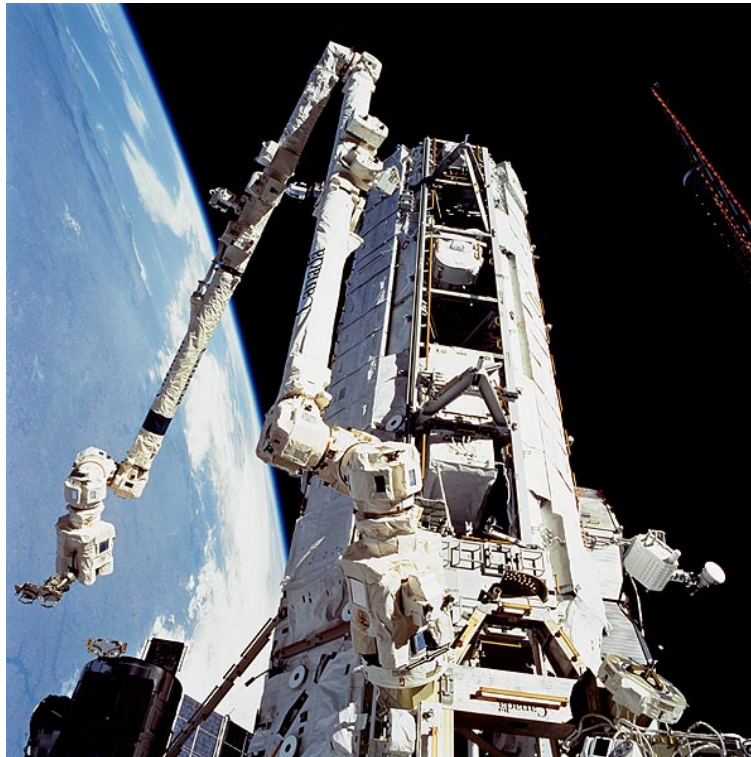
## Redundante Kinematiken

Für Roboter mit mehr als 6 Achsen ist die Rücktransformation überbestimmt. Eine kinematische Kette mit mehr als 6 Achsen heißt deshalb **redundant**.

**Redundanz** kann auch bei weniger als 6 Achsen auftreten. Liegen zwei translatorische Achsen coaxial oder drei rotatorische Achsen parallel, so entsteht Redundanz.



## Canadarm2 als Beispiel für eine redundante Kinematik



## Kuka Leichtbauroboter (LBR) mit 7 Drehachsen



## Achskoordinatensysteme nach Denavit-Hartenberg

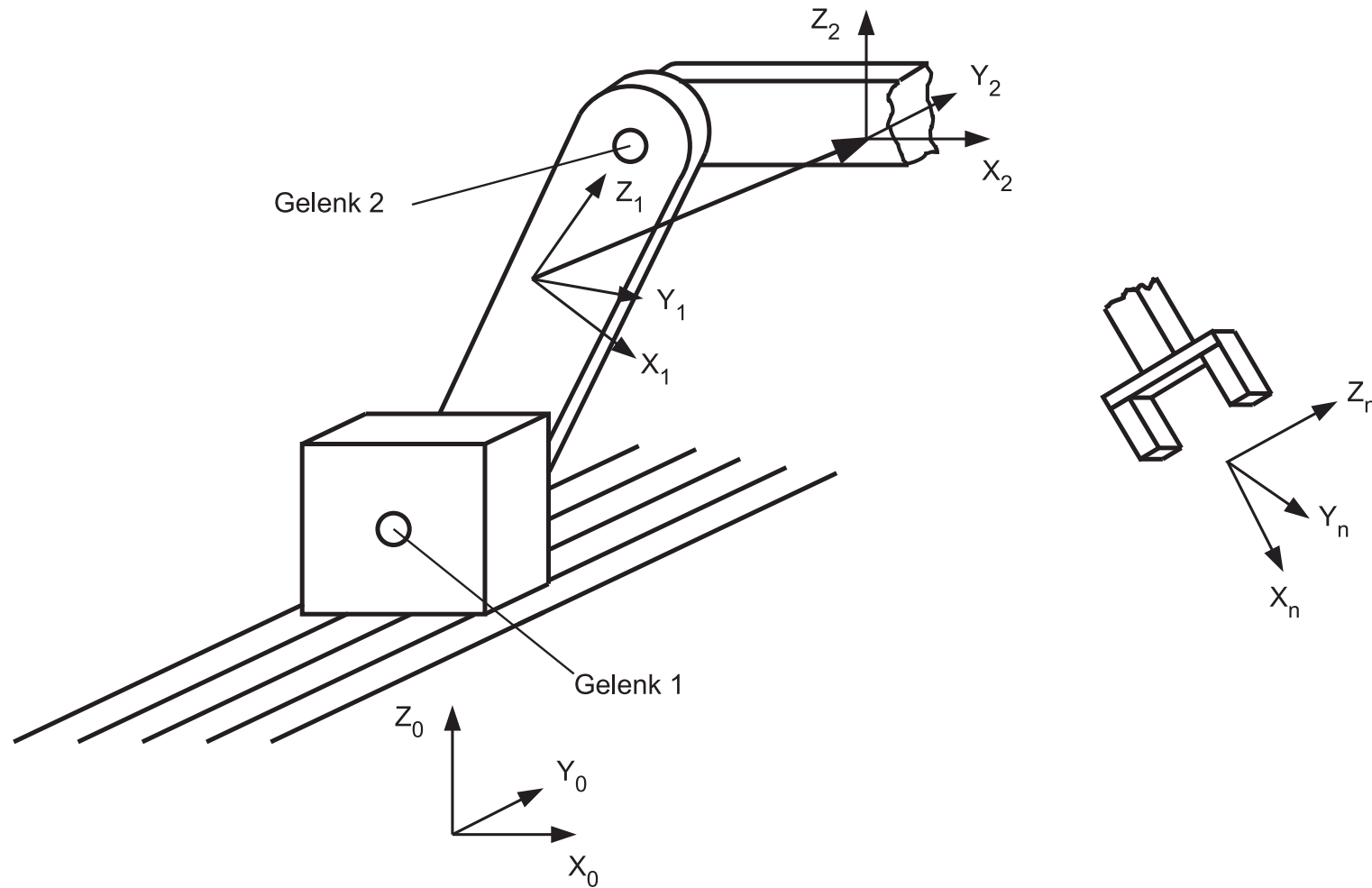
- Es wird jedem **Teilkörper** eines Roboters ein körperfestes Koordinatensystem zugeordnet und die **homogenen Transformationen** zwischen aufeinanderfolgenden Koordinatensystemen bestimmt.
- Das Ziel ist, die **Position und die Orientierung des Werkzeuges** in Abhängigkeit von der Stellung der einzelnen Achsen **in Basiskoordinaten** zu beschreiben.
- Es wird eine Beschreibung für eine **offene kinematische Kette** eingeführt, die es erlaubt, die Kinematik eines Roboters mit  $n$  Freiheitsgraden im Konfigurationsraum durch  $4 \times n$  **Parameter** eindeutig zu beschreiben.
- Die Gelenke werden von 1 bis  $n$  durchnummeriert, die Teilkörper von 0 (unbewegliche Roboterbasis) bis  $n$  und die Koordinatensysteme von  $K_0$  bis  $K_n$ .

1

---

<sup>1</sup>Denavit, Jacques; Hartenberg, Richard Scheunemann (1955). „A kinematic notation for lower-pair mechanisms based on matrices“. Trans ASME J. Appl. Mech. 23 (2): 215–221. doi:10.1115/1.4011045

## Offene kinematische Kette



Jedem **Teilkörper** (Armteil)  $i$  ist ein mit ihm **fest verbundenes Koordinatensystem**  $K_i$  zugeordnet, das seine Lage und Orientierung in Bezug auf seine Nachbar-Koordinatensysteme bei Gelenkbewegungen verändert. Das Koordinatensystem  $K_i$  wird im Koordinatensystem  $K_{i-1}$  durch eine **homogene Transformation**  ${}^{i-1}T_i$  beschrieben.

Die homogene Transformation  ${}^{i-1}T_i$ , die das Koordinatensystem  $K_i$  in das Koordinatensystem  $K_{i-1}$  abbildet, wird aus den folgenden **vier Einzeltransformationen** aufgebaut:

1. Rotation um  $z_{i-1}$  um den Winkel  $\theta_i$
2. Translation entlang  $z_{i-1}$  um die Strecke  $d_i$
3. Translation entlang  $x_{i-1}$  um die Strecke  $a_i$
4. Rotation um  $x_i$  um den Winkel  $\alpha_i$

$${}^{i-1}T_i = \begin{pmatrix} \cos \theta_i & -\sin \theta_i & 0 & 0 \\ \sin \theta_i & \cos \theta_i & 0 & 0 \\ 0 & 0 & 1 & 0 \\ 0 & 0 & 0 & 1 \end{pmatrix} \begin{pmatrix} 1 & 0 & 0 & a_i \\ 0 & 1 & 0 & 0 \\ 0 & 0 & 1 & d_i \\ 0 & 0 & 0 & 1 \end{pmatrix} \begin{pmatrix} 1 & 0 & 0 & 0 \\ 0 & \cos \alpha_i & -\sin \alpha_i & 0 \\ 0 & \sin \alpha_i & \cos \alpha_i & 0 \\ 0 & 0 & 0 & 1 \end{pmatrix}$$

$${}^{i-1}T_i = \begin{pmatrix} \cos \theta_i & -\sin \theta_i \cos \alpha_i & \sin \theta_i \sin \alpha_i & a_i \cos \theta_i \\ \sin \theta_i & \cos \theta_i \cos \alpha_i & -\cos \theta_i \sin \alpha_i & a_i \sin \theta_i \\ 0 & \sin \alpha_i & \cos \alpha_i & d_i \\ 0 & 0 & 0 & 1 \end{pmatrix}$$

- Im Gegensatz zu einer allgemeinen homogenen Transformationsmatrix, die durch 6 Parameter (3 Translationen und 3 Rotationen) beschrieben werden kann, sind hier nur **4 Parameter** notwendig ( $\theta_i, d_i, a_i, \alpha_i$ ).
- Um diese vereinfachte Beschreibung zu ermöglichen, ist beim Festlegen der Koordinatensysteme das Verfahren von Denavit und Hartenberg anzuwenden.

- Die meisten Industrieroboter sind so konstruiert, dass die konstanten Parameter  $\alpha_i$  ganze Vielfache von  $90^\circ$  annehmen. Physikalisch bedeutet dies, dass aufeinanderfolgende Achsen entweder senkrecht aufeinander stehen oder zueinander parallel sind.
- Die Transformationen  ${}^{i-1}\mathbf{T}_i$  nehmen dann eine besonders einfache Gestalt an. Dadurch werden die Umrechnungen von kartesischen Koordinaten in Achsstellungen und umgekehrt wesentlich erleichtert.

Festlegen des **Basiskoordinatensystems**  $K_0$ :

1. Das Basiskoordinatensystem  $K_0$  ist fest mit dem ruhenden Armteil 0 (Roboterbasis) verbunden.
2. Der Ursprung von  $K_0$  liegt auf der ersten Gelenkachse.
3. Die  **$z_0$ -Achse zeigt entlang der ersten Gelenkachse**. Die  $x_0$ -und  $y_0$ -Achse sind als rechtsorientiertes Koordinatensystem frei wählbar.



## Festlegen der Koordinatensysteme $K_i$ ( $i = 1, 2, \dots, n - 1$ ):

### 1. $z$ -Achse:

- Die  $z_i$ -Achse wird in die Dreh- bzw. Schubachse des Gelenks  $G_{i+1}$  gelegt.  
(Von den beiden möglichen Richtungen ist eine auszuwählen.)

### 2. Ursprung von $K_i$ :

- Der Ursprung von  $K_i$  liegt auf der Gelenkachse  $i + 1$ .
- **Schneiden sich die Gelenkachsen**  $i$  und  $i + 1$ , so liegt der Ursprung von  $K_i$  im Schnittpunkt dieser Achsen.
- Verlaufen die Gelenkachsen  $i$  und  $i + 1$  **parallel**, wird zuerst der Ursprung von  $K_{i+1}$  festgelegt. Danach wird der Ursprung von  $K_i$  so auf die Achse  $i + 1$  gelegt, dass der Abstand zwischen dem Ursprung  $K_i$  und dem Ursprung  $K_{i+1}$  minimal wird.
- Sind die Gelenkachsen  $i$  und  $i + 1$  nicht parallel und schneiden sie sich nicht, liegt der Ursprung von  $K_i$  im Schnittpunkt der Normalen der beiden Gelenkachsen mit der Gelenkachse  $i + 1$ .

### 3. $x$ -Achse:

- Die  $x_i$ -Achse entspricht der **Normalen** zwischen der  $z_{i-1}$ -und der  $z_i$ -Achse und **zeigt von der  $z_{i-1}$ -Achse weg**.
- Schneiden sich die  $z_{i-1}$ -Achse und die  $z_i$ -Achse, so verläuft die  $x_i$ -Achse parallel zur Richtung des Kreuzprodukts  $z_{i-1} \times z_i$ . (Von den beiden möglichen Richtungen ist eine auszuwählen.)

### 4. $y$ -Achse:

- Die  $y_i$ -Achse ergänzt das Koordinatensystem im rechtsdrehenden Sinne.

## Festlegen des Koordinatensystems $K_n$

- Bei der Festlegung von  $K_n$  hat man wenig Restriktionen, da es kein Gelenk  $n + 1$  und auch kein übergeordnetes Koordinatensystem  $K_{n+1}$  gibt.
- $K_n$  **muss** sich mit den 4 Denavit-Hartenberg-Parametern in  $K_{n-1}$  überführen lassen und kann ansonsten frei gewählt werden.
- Der Ursprung von  $K_n$  sollte nach Möglichkeit in den TCP gelegt werden. (Kann-Kriterium)

## Kurzfassung DH-Koordinaten

1. Die Gelenke werden von 1 bis  $n$  durchnummeriert.  
Gelenk  $i$  verbindet Armteil  $i - 1$  mit Armteil  $i$ .
2. Es werden die Koordinatensysteme  $K_0$  bis  $K_n$  beginnend mit  $K_0$  platziert.  
Das Koordinatensystem  $i$  ist fest mit Armteil  $i$  verbunden.
3. Die  $z_{i-1}$ -Achse wird in das Gelenk  $i$  gelegt. Drehgelenke drehen um die  $z_{i-1}$ -Achse, Schubgelenke schieben entlang der  $z_{i-1}$ -Achse.
4. Die  $x_i$ -Achse wird so gelegt, dass diese die  $z_{i-1}$ -Achse **schneidet und senkrecht** auf ihr steht:
  - Wenn die  $z_{i-1}$ -Achse **parallel** zur  $z_i$ -Achse steht, **zeigt die  $x_i$ -Achse weg von der  $z_{i-1}$ -Achse**. Der Koordinatenursprung von  $K_i$  kann frei platziert werden.
  - Wenn sich die  $z_{i-1}$ -Achse und die  $z_i$ -Achse **schneiden**, steht die  $x_i$ -Achse senkrecht auf der Fläche, die von der  $z_{i-1}$ -Achse und der  $z_i$ -Achse gebildet werden. Der Koordinatenursprung von  $K_i$  liegt im Schnittpunkt von  $z_{i-1}$  mit  $z_i$ .
  - Im **Allgemeinen** liegt die  $x_i$ -Achse auf der Normalen von  $z_{i-1}$  und  $z_i$  und **zeigt weg von  $z_{i-1}$** .

- Die  $x_0$ -Achse und der Ursprung von  $K_0$  sind frei platzierbar.

5. Die  $y_i$ -Achse ergänzt das rechtsdrehende Koordinatensystem.

Video der WHS mit der Beschreibung des DH-Verfahrens:

[https://www.youtube.com/watch?v=qZB3\\_gKBwf8](https://www.youtube.com/watch?v=qZB3_gKBwf8)

## Bestimmung der DH-Parameter

Die DH-Parameter  $\theta_i$ ,  $d_i$ ,  $a_i$ ,  $\alpha_i$  werden durch vier nacheinander folgende Transformation bestimmt, die  $K_{i-1}$  in  $K_i$  überführen:

1. Drehen von  $K_{i-1}$  um die  $z_{i-1}$ -Achse um den Winkel  $\theta_i$  bis  $x_{i-1}$  und  $x_i$  parallel sind.
2. Verschieben von  $K_{i-1}$  entlang der  $z_{i-1}$ -Achse um die Strecke  $d_i$  bis zum Schnittpunkt mit der  $x_i$ -Achse.
3. Verschieben von  $K_{i-1}$  entlang der  $x_{i-1}$ -Achse um die Strecke  $a_i$  bis die Koordinatenursprünge von  $K_{i-1}$  und  $K_i$  deckungsgleich sind.
4. Drehen von  $K_{i-1}$  um die  $x_{i-1}$ -Achse um den Winkel  $\alpha_i$  bis  $K_{i-1}$  und  $K_i$  deckungsgleich sind.

## Vorwärtstransformation

Die Vorwärtstransformation bestimmt die **Weltkoordinaten** (Position und Winkel des Werkzeugkoordinatensystems im Basiskoordinatensystem) als Funktion der **Gelenkkoordinaten**.

Die Weltkoordinaten können durch den Positionsvektor  $\mathbf{p} = (x, y, z)^T$  zusammen mit Euler- oder Roll-Nick-Gier-Winkel  $\alpha, \beta, \gamma$  dargestellt werden. Die Weltkoordinaten werden dann zusammengefasst  $\mathbf{x} = (x, y, z, \alpha, \beta, \gamma)^T$  dargestellt.

Die Stellung aller Gelenke werden zusammen in den Gelenkkoordinaten  $\mathbf{q} = [q_1, q_2, \dots, q_n]^T$  dargestellt. Die verallgemeinerte Gelenkkoordinate des  $i$ -ten Gelenks wird mit  $q_i$  bezeichnet. Bei einem Drehgelenk ist  $q_i = \theta_i$  bei einem Schubgelenk  $q_i = d_i$ .

Die Vorwärtstransformation berechnet die Weltkoordinaten als Funktion der Gelenkkoordinaten:

$$\mathbf{x} = \mathbf{f}(\mathbf{q})$$

Für einen Roboter mit 6 Achsen gilt:

$q_i, (\theta_i \text{ oder } d_i)$	Gelenkvariablen (aktuelle Armstellung)
$a_i, \alpha_i, d_i \text{ oder } \theta_i$	übrige Denavit-Hartenberg-Parameter (konstant)
${}^6T_E$	Werkzeugkoordinatensystem, dargestellt im Koordinatensystem der 6. Achse

Das Werkzeugkoordinatensystem kann im letzten DH-Gelenkkoordinatensystem eines Roboters durch eine konstante homogene Transformation  ${}^6T_E$  beschrieben werden.

Durch die Transformation des Werkzeugkoordinatensystems über die gesamte kinematische Kette hinweg erhält man die Darstellung des Werkzeugkoordinatensystems in Basiskoordinaten.



Die homogene Transformation  ${}^0T_E$ , die das Werkzeugkoordinatensystem in Basiskoordinaten beschreibt, ist gegeben durch:

$${}^0T_E = {}^0T_1 {}^1T_2 {}^2T_3 {}^3T_4 {}^4T_5 {}^5T_6 {}^6T_E$$

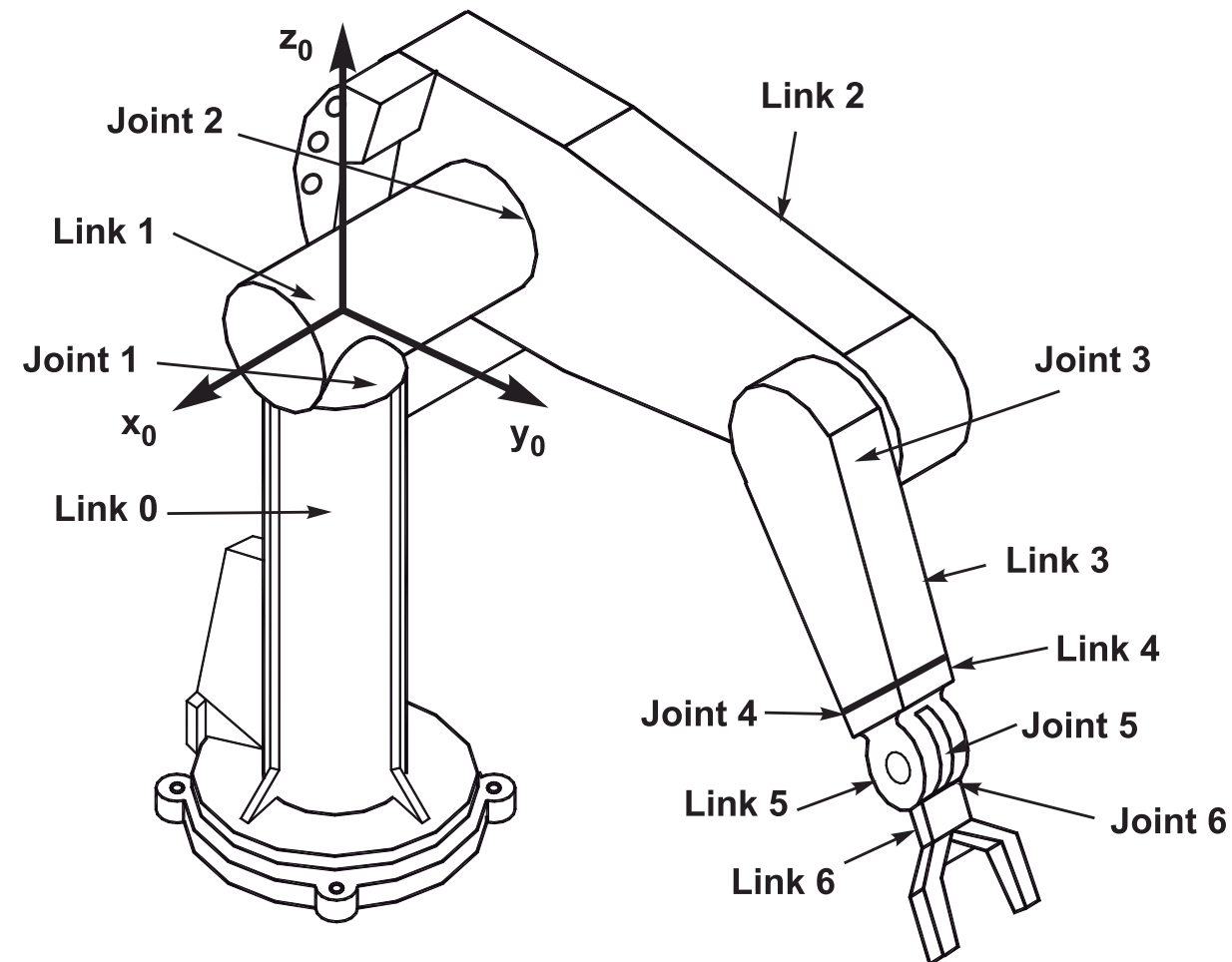
Mit Hilfe der Gleichung werden die Position und die Orientierung des Werkzeuges in einer bestimmten Armstellung in kartesische Basiskoordinaten transformiert, nachdem zuvor aus den numerisch vorliegenden Denavit-Hartenberg-Parametern die Achstransformationen  ${}^{i-1}T_i$  bestimmt wurden.

Aus der homogenen Transformationsmatrix  ${}^0T_E$  können direkt die Weltkoordinaten  $x$  bestimmt werden.

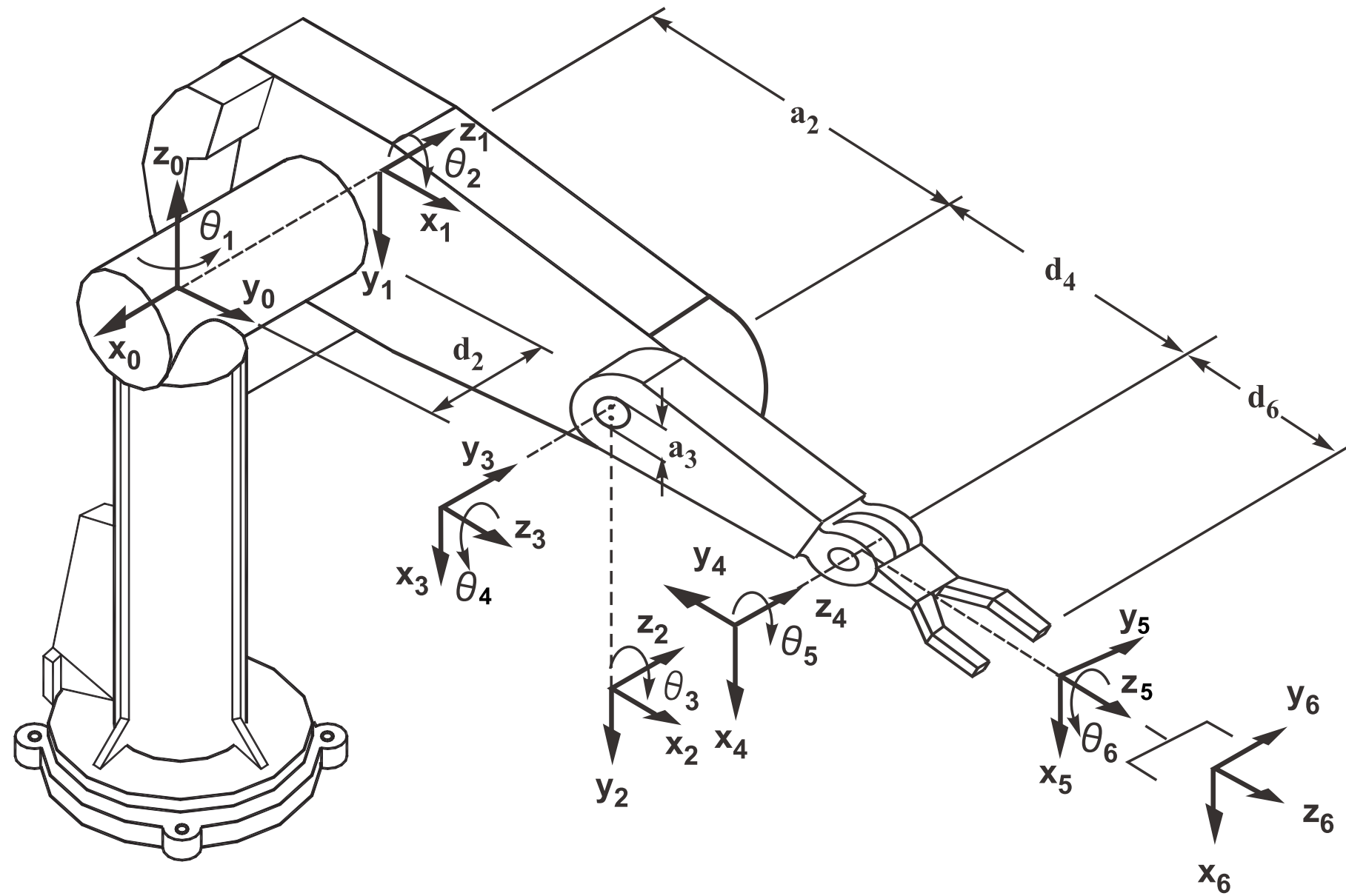
Mit Hilfe der Gleichungen in  ${}^0T_E$  werden die Gelenkkoordinaten  $q$  in kartesische (Welt-)Koordinaten  $x$  transformiert. Diesen Vorgang bezeichnet man als **Vorwärtstransformation**.

Die Vorwärtstransformation ist für beliebige Achsstellungen, Achsanordnungen und für eine beliebige Anzahl von Achsen **eindeutig** ausführbar.

## Vorwärtstransformation für einen Knickarmroboter (Beispiel PUMA)

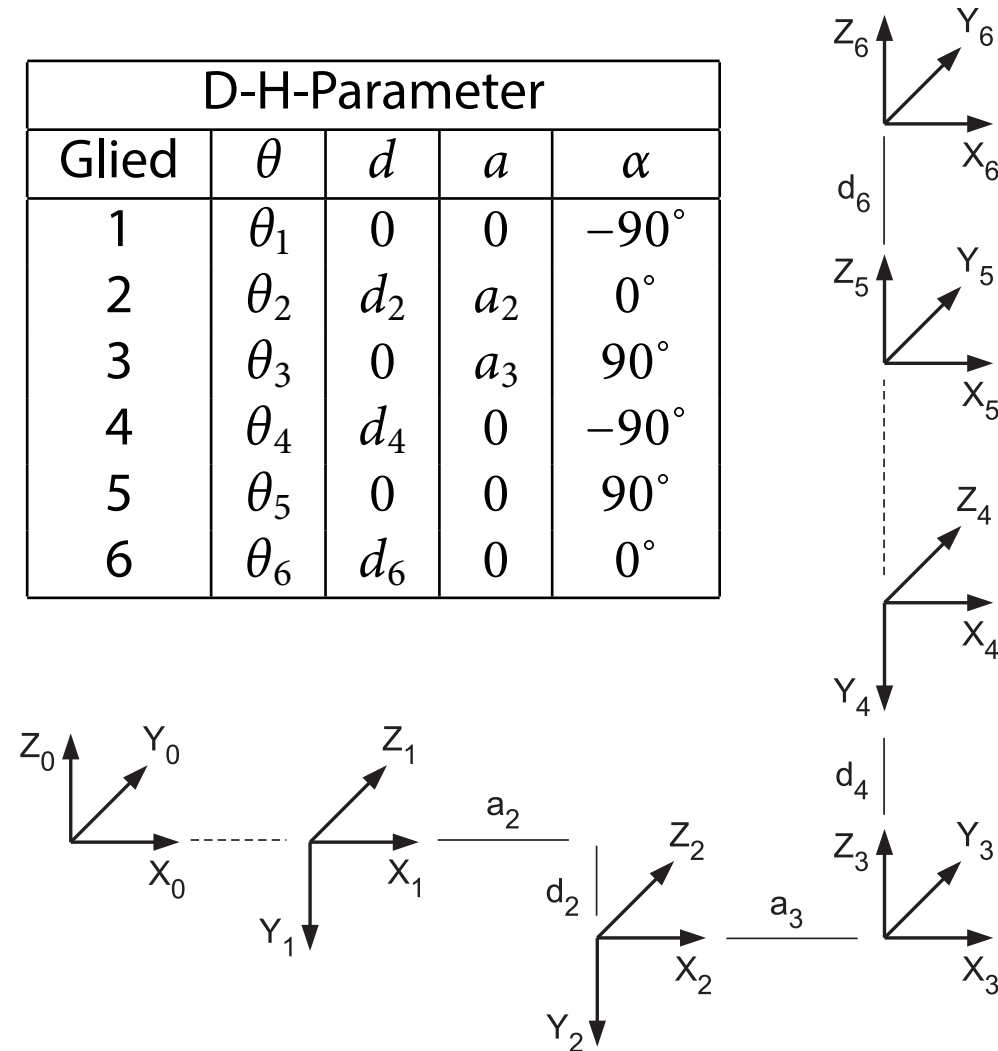


Animationen: [Knickarmroboter](#), [Hauptachsen](#), [Handachsen](#)



# Lage der Koordinatensysteme in der Nullstellung des Roboters

D-H-Parameter				
Glied	$\theta$	$d$	$a$	$\alpha$
1	$\theta_1$	0	0	$-90^\circ$
2	$\theta_2$	$d_2$	$a_2$	$0^\circ$
3	$\theta_3$	0	$a_3$	$90^\circ$
4	$\theta_4$	$d_4$	0	$-90^\circ$
5	$\theta_5$	0	0	$90^\circ$
6	$\theta_6$	$d_6$	0	$0^\circ$



## Transformationsmatritzen

$${}^0T_1 = \begin{pmatrix} \cos \theta_1 & 0 & -\sin \theta_1 & 0 \\ \sin \theta_1 & 0 & \cos \theta_1 & 0 \\ 0 & -1 & 0 & 0 \\ 0 & 0 & 0 & 1 \end{pmatrix}$$

$${}^1T_2 = \begin{pmatrix} \cos \theta_2 & -\sin \theta_2 & 0 & a_2 \cos \theta_2 \\ \sin \theta_2 & \cos \theta_2 & 0 & a_2 \sin \theta_2 \\ 0 & 0 & 1 & d_2 \\ 0 & 0 & 0 & 1 \end{pmatrix}$$

$${}^2T_3 = \begin{pmatrix} \cos \theta_3 & 0 & \sin \theta_3 & a_3 \cos \theta_3 \\ \sin \theta_3 & 0 & -\cos \theta_3 & a_3 \sin \theta_3 \\ 0 & 1 & 0 & 0 \\ 0 & 0 & 0 & 1 \end{pmatrix}$$

$${}^3T_4 = \begin{pmatrix} \cos \theta_4 & 0 & -\sin \theta_4 & 0 \\ \sin \theta_4 & 0 & \cos \theta_4 & 0 \\ 0 & -1 & 0 & d_4 \\ 0 & 0 & 0 & 1 \end{pmatrix}$$

$${}^4T_5 = \begin{pmatrix} \cos \theta_5 & 0 & \sin \theta_5 & 0 \\ \sin \theta_5 & 0 & -\cos \theta_5 & 0 \\ 0 & 1 & 0 & 0 \\ 0 & 0 & 0 & 1 \end{pmatrix}$$

$${}^5T_6 = \begin{pmatrix} \cos \theta_6 & -\sin \theta_6 & 0 & 0 \\ \sin \theta_6 & \cos \theta_6 & 0 & 0 \\ 0 & 0 & 1 & d_6 \\ 0 & 0 & 0 & 1 \end{pmatrix}$$



Durch Multiplikation erhält man für die Komponenten der Matrix

$${}^0T_6 = {}^0T_1 {}^1T_2 {}^2T_3 {}^3T_4 {}^4T_5 {}^5T_6 = \begin{pmatrix} n_x & s_x & a_x & p_x \\ n_y & s_y & a_y & p_y \\ n_z & s_z & a_z & p_z \\ 0 & 0 & 0 & 1 \end{pmatrix}$$

$$n_x = c_1(c_{23}(c_4c_5c_6 - s_4s_6) - s_{23}s_5c_6) - s_1(s_4c_5c_6 + c_4s_6)$$

$$n_y = s_1(c_{23}(c_4c_5c_6 - s_4s_6) - s_{23}s_5c_6) + c_1(s_4c_5c_6 + c_4s_6)$$

$$n_z = -s_{23}(c_4c_5c_6 - s_4s_6) - c_{23}s_5c_6$$

$$s_x = c_1(-c_{23}(c_4c_5s_6 + s_4c_6) + s_{23}s_5s_6) - s_1(-s_4c_5s_6 + c_4c_6)$$

$$s_y = s_1(-c_{23}(c_4c_5s_6 + s_4c_6) + s_{23}s_5s_6) + c_1(-s_4c_5s_6 + c_4c_6)$$

$$s_z = s_{23}(c_4c_5s_6 + s_4c_6) - c_{23}s_5s_6$$

$$a_x = c_1(c_{23}c_4s_5 + s_{23}c_5) - s_1s_4s_5$$

$$a_y = s_1(c_{23}c_4s_5 + s_{23}c_5) + c_1s_4s_5$$

$$a_z = -s_{23}c_4s_5 + c_{23}c_5$$

$$p_x = c_1(d_6(c_{23}c_4s_5 + s_{23}c_5) + s_{23}d_4 + a_3c_{23} + a_2c_2) - s_1(d_6s_4s_5 + d_2)$$

$$p_y = s_1(d_6(c_{23}c_4s_5 + s_{23}c_5) + s_{23}d_4 + a_3c_{23} + a_2c_2) + c_1(d_6s_4s_5 + d_2)$$

$$p_z = d_6(c_{23}c_5 - s_{23}c_4s_5) + c_{23}d_4 - a_3s_{23} - a_2s_2$$

mit  $s_i := \sin \theta_i$ ,  $c_i := \cos \theta_i$ ,  $s_{ij} := \sin(\theta_i + \theta_j)$ ,  $c_{ij} := \cos(\theta_i + \theta_j)$ .

## Anwendung der Vorwärts- und Rücktransformation

- Die Vorwärtstransformation bestimmt Position und Winkel des TCP im Basiskoordinatensystem (Weltkoordinaten)  $\mathbf{x} = [x, y, z, \alpha, \beta, \gamma]^T$  als Funktion der Gelenkkoordinaten  $\mathbf{q} = [q_1, q_2, \dots, q_n]^T$ :

$$\mathbf{x} = \mathbf{f}(\mathbf{q})$$

- Für einfache Aufgaben eines Roboters (z.B. Pick-und-Place) kann der Roboter in Gelenkkoordinaten bewegt werden. Die Greifpunkte werden dann durch **TeachIn** in Gelenkkoordinaten  $\mathbf{q}$  gespeichert. Das Roboterprogramm nutzt die gespeicherten Anfahrpunkte und verfährt die Achsen zu den Punkten **Point-to-Point**. Mit der Vorwärtstransformation  $\mathbf{x} = \mathbf{f}(\mathbf{q})$  können die Gelenkkoordinaten  $\mathbf{q}$  als Weltkoordinaten  $\mathbf{x}$  angezeigt werden.

- Werden bestimmte Bahnformen des TCP vorgegeben (z.B. Laserschweißen), ist eine **Rücktransformation** nötig. Hierzu benötigt man die Berechnung der Gelenkkoordinaten  $\mathbf{q}$  aus einer vorgegebenen Bahn des TCP in Weltkoordinaten  $\mathbf{x}$ .

$$\mathbf{q} = \mathbf{f}^{-1}(\mathbf{x})$$

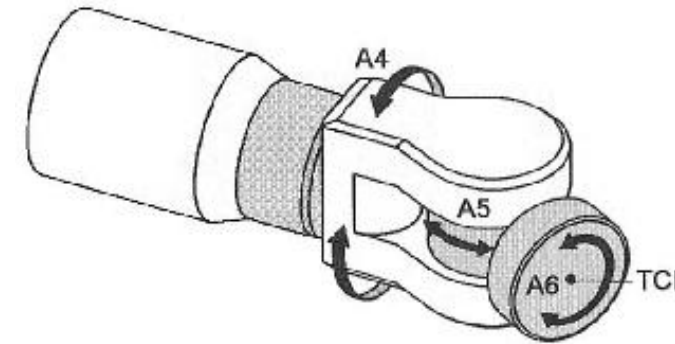
- Eine Rücktransformation kann keine, eine, mehrere und sogar unendlich viele Lösungen besitzen.
- Nicht für alle Kinematiken kann die Rücktransformation  $\mathbf{f}^{-1}$  analytisch bestimmt werden und es sind dann numerische Verfahren notwendig.

## Rücktransformation mittels geometrischem Ansatz

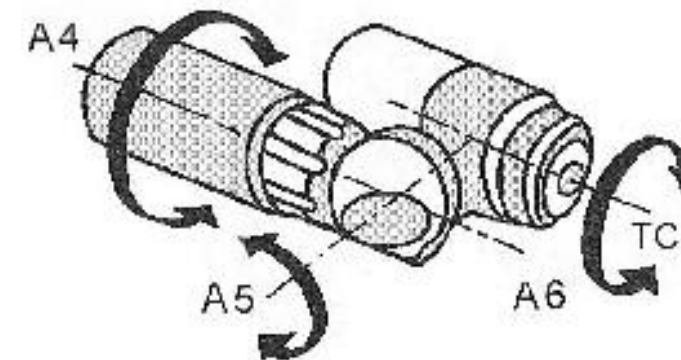
- Grundidee: Zerlegung der Rücktransformation in zwei voneinander **unabhängige Teilprobleme**
- Zuerst werden die ersten drei Gelenkwinkel bestimmt
- Danach werden die Gelenkwinkel der Roboterhand bestimmt
- Voraussetzung: Der Roboter verfügt über eine **Zentralhand**
- Bei einer Zentralhand schneiden sich die Achsen der drei Gelenke in einem Punkt

## Vergleich Zentralhand mit Winkelhand

- Die meisten handelsüblichen Knickarmroboter verfügen über eine Zentralhand.
- Bei der Zentralhand schneiden sich alle Achsen der Gelenke in einem Punkt, bei der Winkelhand ist dies nicht der Fall.
- Die Rücktransformation wird dadurch stark vereinfacht, die Konstruktion wird durch den geringeren Bauraum jedoch komplexer.

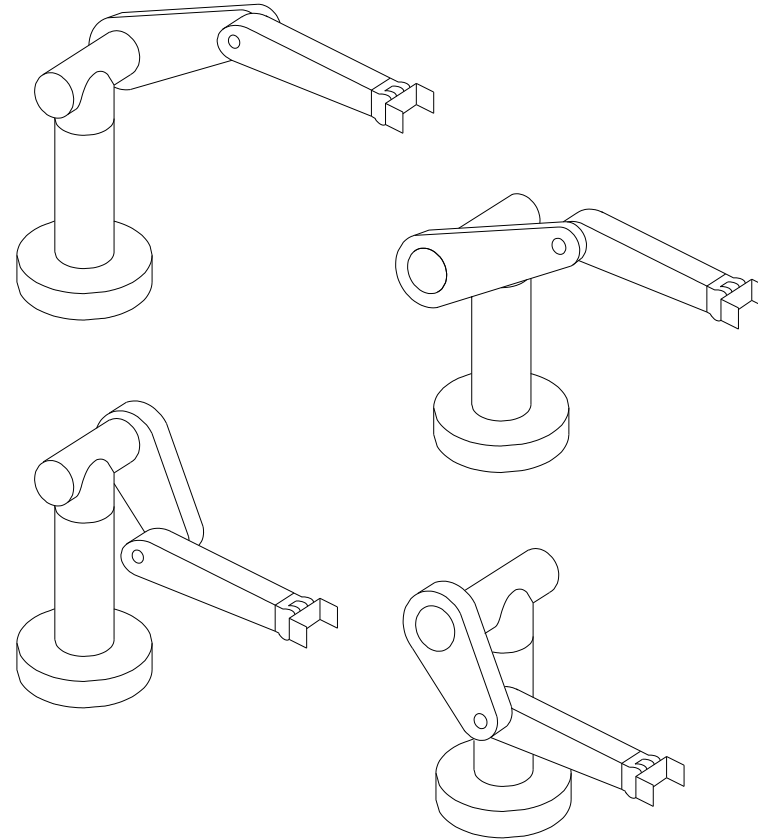


Zentralhand



Winkelhand

## Roboter in verschiedenen Gelenkkonfigurationen



Das Bild zeigt den Roboter in vier verschiedenen Gelenkstellungen, bei denen immer dieselbe Position erreicht wird. Diese vier verschiedenen Stellungen werden allein dadurch erzielt, dass sich die ersten drei Gelenkvariablen  $\theta_1$ ,  $\theta_2$ ,  $\theta_3$  geändert haben.

## Konfigurationen eines Knickarmroboters

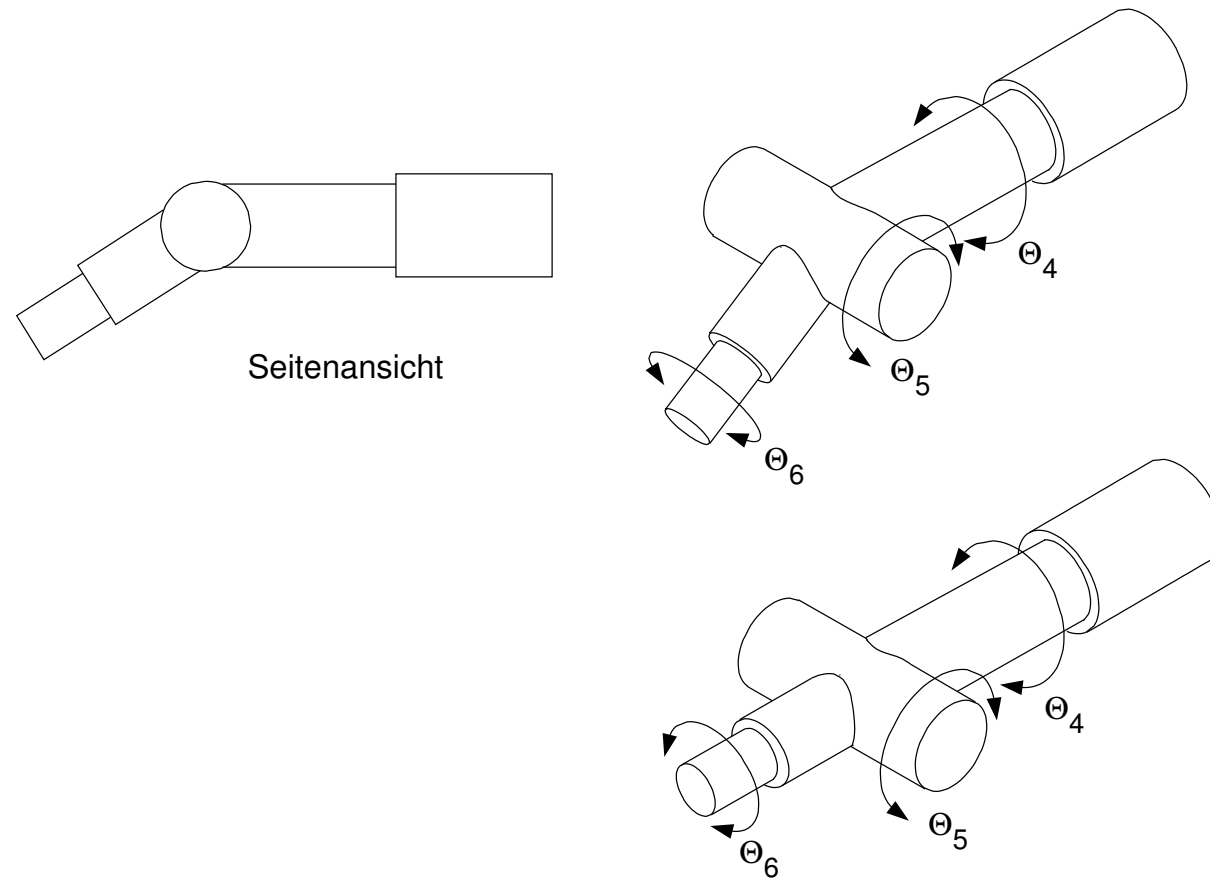
- Im Allgemeinen ist die Rücktransformation **mehrdeutig lösbar**. In einer **singulären Stellungen** des Roboters gibt es unendlich viele Lösungen.
- Für den sechssachsigen Knickarmroboter gibt es bei der Rücktransformation 4 mögliche Lösungen für die ersten 3 Gelenkvariablen  $\theta_1 \dots \theta_3$  und für jede dieser 4 Lösungen jeweils 2 Lösungen für die letzten 3 Gelenkvariablen  $\theta_4 \dots \theta_6$ , zusammen folglich 8 verschiedene Lösungen, falls es sich nicht um eine singuläre Stellung des Roboters handelt.
- Diese verschiedenen Lösungen werden auch **Konfigurationen** genannt.
- Die Lösungsmöglichkeiten sind teilweise durch die vorhandenen Achsbewegungsgrenzen eingeschränkt. Die Überprüfung kann aber erst dann stattfinden, nachdem man alle Lösungsmöglichkeiten ermittelt hat.



## Singularitäten eines Knickarmroboters

- Bei manchen Roboterkinematiken gibt es Raumpunkte, die zu sogenannten **Singularitäten** oder singulären Stellungen des Roboters führen.
- Eine typische singuläre Roboterstellung des Knickarmroboters ist die Überkopfstellung des Werkzeuges. Hier fluchten Achse 1 ( $z_0$ ) und Achse 6 ( $z_5$ ) und es gibt unendlich viele Lösungen der Rücktransformation.
- Eine andere singuläre Stellung ist die Steckstellung der Zentralhand, hier fluchten die Achsen 4 ( $z_3$ ) und 6 ( $z_5$ ). Sie können gegeneinander verdreht werden, ohne die Orientierung am TCP zu verändern. Auch hier gibt es unendlich viele Lösungen der Rücktransformation.

## Singularität der Zentralhand

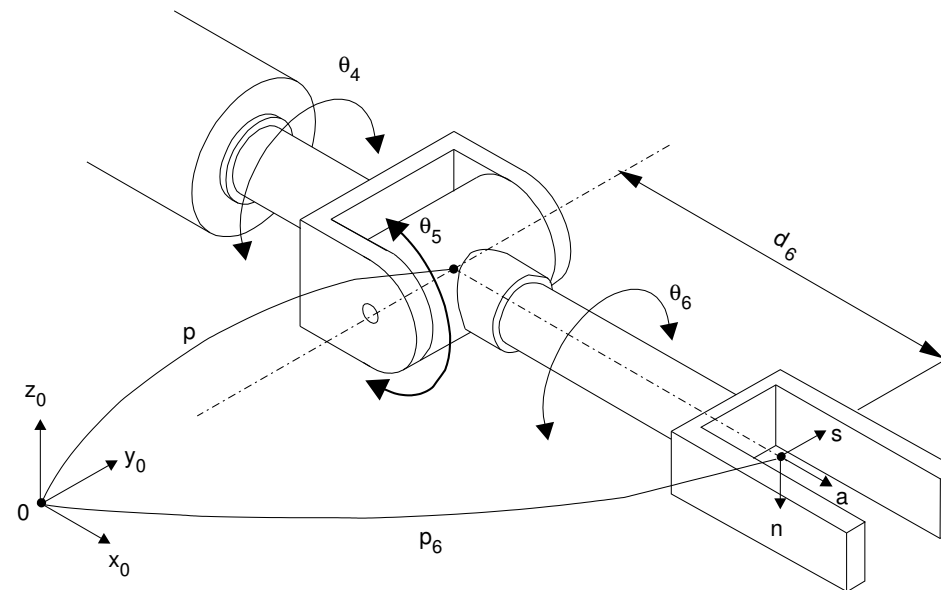


## Bestimmung der ersten drei Gelenkwinkel

Betrachtet man die gegebene Beschreibung des TCP des Roboters in homogenen Koordinaten

$${}^0T_6 = \begin{pmatrix} x_6 & y_6 & z_6 & p_6 \\ 0 & 0 & 0 & 1 \end{pmatrix} = \begin{pmatrix} n & s & a & p_6 \\ 0 & 0 & 0 & 1 \end{pmatrix}$$

und die Darstellung der einzelnen Vektoren in der Roboterhand



erkennt man, dass sich hieraus der Positionsvektor  $\mathbf{p}_4$  von  ${}^0T_4$  über die Beziehung

$$\mathbf{p}_4 = \mathbf{p}_6 - d_6 \mathbf{a}$$

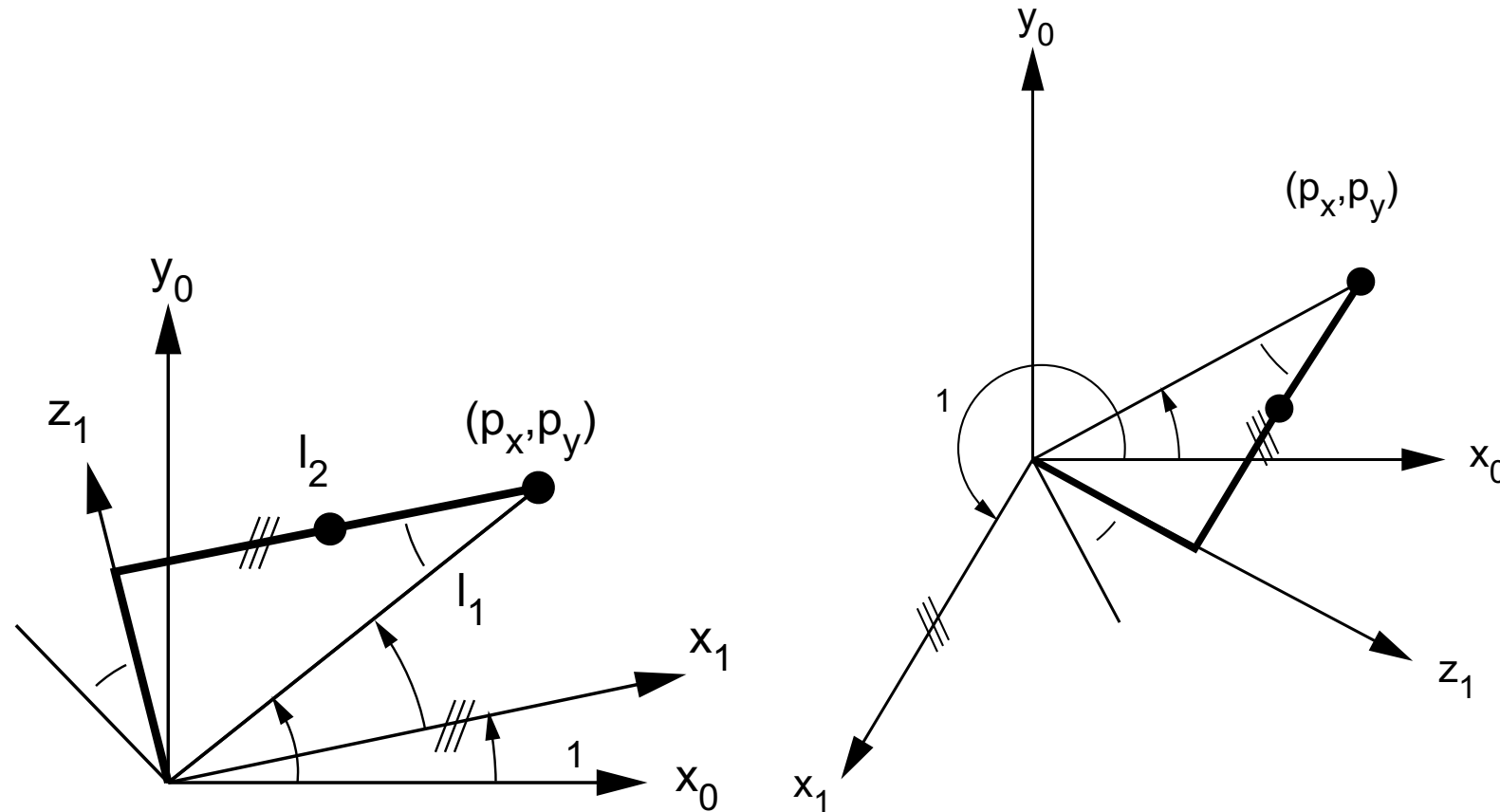
bestimmen lässt. Andererseits ergibt die Berechnung von  ${}^0T_4$  für den darin enthaltenen Positionsvektor

$$\mathbf{p}_4 = \begin{pmatrix} p_x \\ p_y \\ p_z \end{pmatrix} = \begin{pmatrix} c_1(a_2c_2 + a_3c_{23} + d_4s_{23}) - d_2s_1 \\ s_1(a_2c_2 + a_3c_{23} + d_4s_{23}) + d_2c_1 \\ d_4c_{23} - a_3s_{23} - a_2s_2 \end{pmatrix}$$

Die Bestimmung der ersten drei Gelenkvariablen ist somit auf das Lösen des Gleichungssystems separierbar.

## Bestimmung des Winkels $\theta_1$

Betrachtet man den Positionsvektor  $p_4$  in der  $x_0, y_0$ -Ebene,



erhält man für die eingetragenen Längen und Winkel die Beziehungen

$$\begin{aligned} l_1 &= \sqrt{p_x^2 + p_y^2} & l_2 &= \sqrt{p_x^2 + p_y^2 - d_2^2} \\ \cos \alpha &= \frac{p_x}{l_1} & \sin \alpha &= \frac{p_y}{l_1} \\ \cos \beta &= \frac{l_2}{l_1} & \sin \beta &= \frac{d_2}{l_1} \end{aligned}$$

unabhängig von der gewählten Konfiguration.

Der gesuchte Gelenkwinkel  $\theta_1$  setzt sich aus den beiden Winkeln  $\alpha$  und  $\beta$  zusammen:

Fall Linker Arm:  $\theta_1 = \beta - \alpha$

$$\sin \theta_1 = \sin \beta \cos \alpha - \cos \beta \sin \alpha = \frac{p_x d_2 - p_y l_2}{l_1^2}$$

$$\cos \theta_1 = \cos \beta \cos \alpha + \sin \beta \sin \alpha = \frac{p_x l_2 + p_y d_2}{l_1^2}$$

Fall Rechter Arm:  $\theta_1 = \pi + \beta + \alpha$

$$\sin \theta_1 = -\sin \beta \cos \alpha - \cos \beta \sin \alpha = \frac{-p_y l_2 - p_x d_2}{l_1^2}$$

$$\cos \theta_1 = -\cos \beta \cos \alpha + \sin \beta \sin \alpha = \frac{-p_x l_2 + p_y d_2}{l_1^2}$$

Die beiden Lösungsfälle lassen sich mit Hilfe eines ersten Konfigurationsindikators  $K_1$  zusammenfassen:

$$\sin \theta_1 = \frac{-K_1 p_y \sqrt{p_x^2 + p_y^2 - d_2^2} - p_x d_2}{p_x^2 + p_y^2}$$



$$\cos \theta_1 = \frac{-K_1 p_x \sqrt{p_x^2 + p_y^2 - d_2^2} + p_y d_2}{p_x^2 + p_y^2}$$

wobei  $K_1$  über

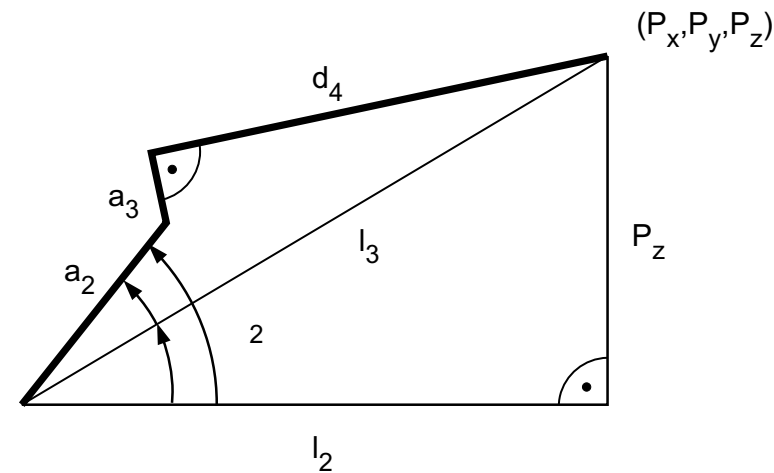
$$K_1 = \begin{cases} +1 & \text{Rechter Arm} \\ -1 & \text{Linker Arm} \end{cases}$$

festgelegt wird. Die Lösung für  $\theta_1$  ist dann

$$\theta_1 = \text{atan2}(\sin \theta_1, \cos \theta_1)$$

## Bestimmung des Winkels $\theta_2$

Betrachtet man den Positionsvektor  $p_4$  nun in der  $x_1, y_1$ -Ebene, so erhält man die geometrischen Zusammenhänge.



Für die eingetragene Länge  $l_3$  (für die Länge  $l_2$  gilt aus der Bestimmung von  $\theta_1$  weiterhin  $l_2 = \sqrt{p_x^2 + p_y^2 - d_2^2}$ ) und für die Winkel  $\alpha$  und  $\beta$  lassen sich die folgenden Beziehungen herleiten:

$$l_3 = \sqrt{p_x^2 + p_y^2 + p_z^2 - d_2^2}$$

$$\cos \alpha = \frac{l_2}{l_3} = \frac{\sqrt{p_x^2 + p_y^2 - d_2^2}}{\sqrt{p_x^2 + p_y^2 + p_z^2 - d_2^2}}$$

$$\sin \alpha = \frac{p_z}{L_3} = \frac{p_z}{\sqrt{p_x^2 + p_y^2 + p_z^2 - d_2^2}}$$

$$\cos \beta = \frac{a_2^2 + L_3^2 - (d_4^2 + a_3^2)}{2a_2L_3}$$

$$\sin \beta = \sqrt{1 - \cos^2 \beta}$$

Der gesuchte Gelenkwinkel  $\theta_2$  setzt sich aus den beiden Winkeln  $\alpha$  und  $\beta$  zusammen:

Fall Linker, Oberer Arm:  $\theta_2 = -\alpha - \beta$

$$\sin \theta_2 = -\sin \alpha \cos \beta - \cos \alpha \sin \beta$$

$$\cos \theta_2 = \cos \alpha \cos \beta - \sin \alpha \sin \beta$$

Fall Linker, Unterer Arm:  $\theta_2 = -\alpha + \beta$

$$\begin{aligned}\sin \theta_2 &= -\sin \alpha \cos \beta + \cos \alpha \sin \beta \\ \cos \theta_2 &= \cos \alpha \cos \beta + \sin \alpha \sin \beta\end{aligned}$$

Fall Rechter, Oberer Arm:  $\theta_2 = \alpha + \beta$

$$\begin{aligned}\sin \theta_2 &= \sin \alpha \cos \beta + \cos \alpha \sin \beta \\ \cos \theta_2 &= \cos \alpha \cos \beta - \sin \alpha \sin \beta\end{aligned}$$

Fall Rechter, Unterer Arm:  $\theta_2 = \alpha - \beta$

$$\begin{aligned}\sin \theta_2 &= \sin \alpha \cos \beta - \cos \alpha \sin \beta \\ \cos \theta_2 &= \cos \alpha \cos \beta + \sin \alpha \sin \beta\end{aligned}$$

Durch die Einführung des zweiten Konfigurationsindikators  $K_2$  mit

$$K_2 = \begin{cases} +1 & \text{Oberer Arm} \\ -1 & \text{Unterer Arm} \end{cases}$$

lassen sich dann zusammen mit  $K_1$  diese obigen vier Fälle zusammenfassen:

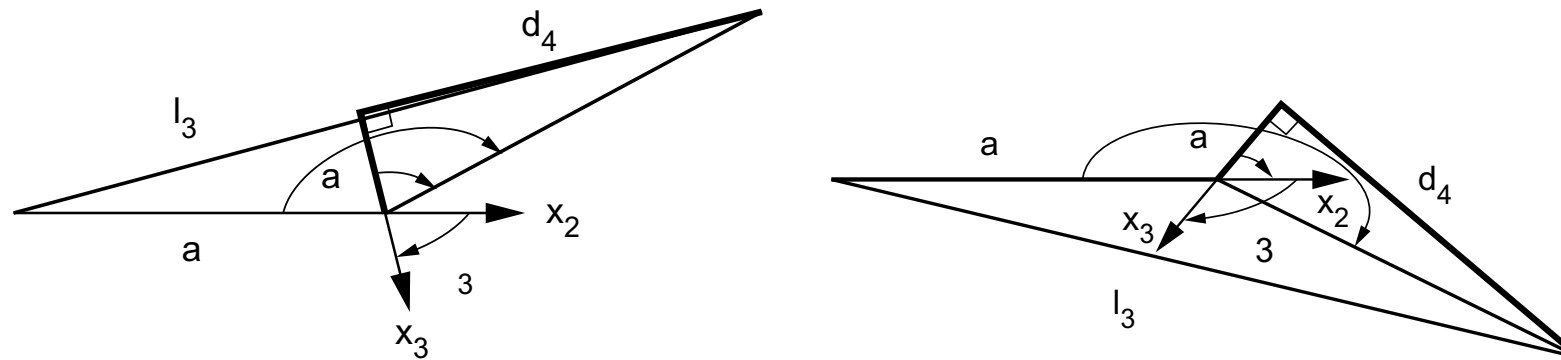
$$\begin{aligned} \sin \theta_2 &= K_1 \sin \alpha \cos \beta + K_2 \cos \alpha \sin \beta \\ \cos \theta_2 &= \cos \alpha \cos \beta - K_2 \sin \alpha \sin \beta \end{aligned}$$

und somit schließlich

$$\theta_2 = \text{atan2}(\sin \theta_2, \cos \theta_2)$$

## Bestimmung des Winkels $\theta_3$

Den Betrachtungen zu den Winkeln  $\theta_1$  und  $\theta_2$  entsprechend wird zur Bestimmung von  $\theta_3$  der Positionsvektor  $p_4$  jetzt in der  $x_2, y_2$ -Ebene betrachtet und man erhält die geometrischen Zusammenhänge



Aus den Abbildungen erkennbar, gelten unabhängig von der Konfiguration die folgenden Gleichungen für die Winkel  $\alpha$  und  $\beta$

$$\cos \alpha = \frac{a^2 + d_4^2 + a_3^2 - l_3^2}{2a_2 \sqrt{d_4^2 + a_3^2}}$$

$$\sin \alpha = \sqrt{1 - \cos^2 \alpha}$$

$$\cos \beta = \frac{|a_3|}{\sqrt{d_4^2 + a_3^2}}$$

$$\sin \beta = \frac{d_4}{\sqrt{d_4^2 + a_3^2}}$$

Der gesuchte Gelenkwinkel  $\theta_3$  setzt sich aus den beiden Winkeln  $\alpha$  und  $\beta$  zusammen:

Fälle Rechter, Oberer Arm und Linker, Unterer Arm:  $\theta_3 = \alpha - \beta$

Fälle Rechter, Unterer Arm und Linker, Oberer Arm:  $\theta_3 = -\alpha - \beta$

Mit Hilfe der beiden eingeführten Konfigurationsindices ergibt sich dann

$$\begin{aligned}\sin \theta_3 &= K_1 K_2 \sin \alpha \cos \beta - \cos \alpha \sin \beta \\ \cos \theta_3 &= \cos \alpha \cos \beta + K_1 K_2 \sin \alpha \sin \beta\end{aligned}$$

und somit

$$\theta_3 = \text{atan2}(\sin \theta_3, \cos \theta_3)$$



## Bestimmung der letzten drei Gelenkwinkel

Nachdem die ersten drei Gelenkwinkel bestimmt worden sind, ist die Transformationsmatrix  ${}^0T_3$  vollständig bekannt:

$${}^0T_3 = \begin{pmatrix} \mathbf{x}_3 & \mathbf{y}_3 & \mathbf{z}_3 & \mathbf{p}_3 \\ 0 & 0 & 0 & 1 \end{pmatrix}$$

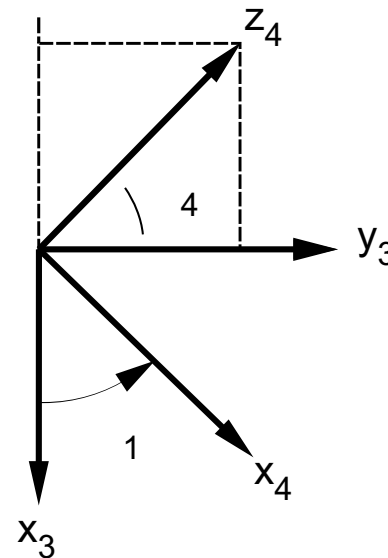
$$= \begin{pmatrix} c_1 c_{23} & -s_1 & c_1 s_{23} & a_2 c_1 c_2 + a_3 c_1 c_{23} - d_2 s_1 \\ s_1 c_{23} & c_1 & s_1 s_{23} & a_2 s_1 c_2 + a_3 s_1 c_{23} + d_2 c_1 \\ -s_{23} & 0 & c_{23} & -a_2 s_2 - a_3 s_{23} \\ 0 & 0 & 0 & 1 \end{pmatrix}$$

## Bestimmung des Winkels $\theta_4$

Betrachtet man die beiden Koordinatensysteme 3 und 4 in Abhängigkeit des Winkels  $\theta_4$  zueinander, so gilt:

$$\sin \theta_4 = -z_4 \cdot x_3 \quad \cos \theta_4 = z_4 \cdot y_3$$

Hierin lässt sich der Koordinationvektor  $z_4$  über das normierte Kreuzprodukt



$$\mathbf{z}_4 = \pm \frac{\mathbf{z}_3 \times \mathbf{a}}{|\mathbf{z}_3 \times \mathbf{a}|}$$

berechnen. Das Kreuzprodukt ist bis auf das noch frei wählbare Vorzeichen bestimmt. In dem frei wählbaren Vorzeichen drückt sich aus, dass zwei verschiedene Lösungen für den Winkel existieren. Falls das Kreuzprodukt zu Null wird, also die beiden Vektoren  $\mathbf{z}_3$  und  $\mathbf{a}$  parallel liegen, so liegt in diesem Falle eine degenerierte Achsstellung vor, denn die Rotationen um die Achse 4 und um die Achse 6 liegen parallel.

Mit  $B = |\mathbf{z}_3 \times \mathbf{a}|$  und einem dritten Konfigurationsindikator  $K_3$ , der entweder +1 oder -1 zu setzen ist, erhält man

$$\begin{aligned} B \sin \theta_4 &= -K_3 (\mathbf{z}_3 \times \mathbf{a}) \cdot \mathbf{x}_3 \\ &= K_3 (c_1 a_y - s_1 a_x) \end{aligned}$$

$$\begin{aligned} B \cos \theta_4 &= K_3 (\mathbf{z}_3 \times \mathbf{a}) \cdot \mathbf{y}_3 \\ &= K_3 (c_1 c_{23} a_x + s_1 c_{23} a_y - s_{23} a_z) \end{aligned}$$

Bei  $B = 0$  liegt der degenerierte Fall vor und die Lösung von  $\theta_4$  ist unbestimmt. Lediglich die Summe  $\theta_4 + \theta_6$  ist bestimmbar.

Ansonsten erhält man den Winkel über

$$\theta_4 = \text{atan2}(B \sin \theta_4, B \cos \theta_4)$$

## Bestimmung des Winkels $\theta_5$

Betrachtet man die beiden Koordinatensysteme 4 und 5 in Abhängigkeit des Winkels  $\theta_5$  zueinander, so gilt:

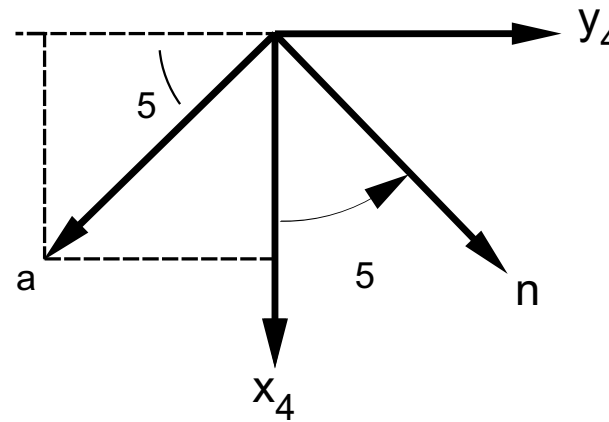
$$\sin \theta_5 = \mathbf{z}_5 \cdot \mathbf{x}_4 \quad \cos \theta_5 = -\mathbf{z}_5 \cdot \mathbf{y}_4$$

und wegen  $\mathbf{z}_5 = \mathbf{a}$

$$\begin{aligned} \sin \theta_5 &= \mathbf{a} \cdot \mathbf{x}_4 \\ &= (c_1 c_{23} c_4 - s_1 s_4) a_x + (s_1 c_{23} c_4 + c_1 s_4) a_y - c_4 s_{23} a_z \end{aligned}$$

$$\begin{aligned} \cos \theta_5 &= -\mathbf{a} \cdot \mathbf{y}_4 \\ &= c_1 s_{23} a_x + s_1 s_{23} a_y + c_{23} a_z \end{aligned}$$

$$\theta_5 = \text{atan2}(\sin \theta_5, \cos \theta_5)$$



Im degenerierten Falle  $B = 0$  ist der Winkel  $\theta_5$  gleich Null, denn hier steht der Vektor  $a$  senkrecht auf  $x_4$ .

## Bestimmung des Winkels $\theta_6$

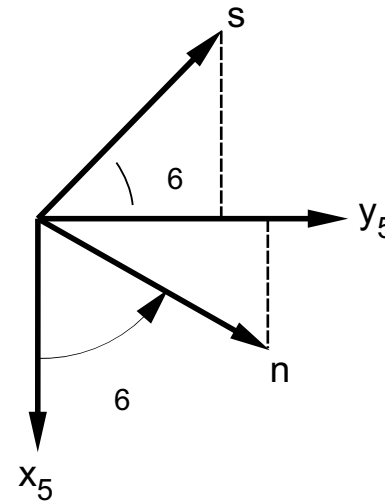
Betrachtet man die beiden Koordinatensysteme 5 und 6 in Abhängigkeit des Winkels  $\theta_6$  zueinander, so gilt:

$$\begin{aligned}\sin \theta_6 &= \mathbf{n} \cdot \mathbf{y}_5 \\ &= (-s_1 c_4 - c_1 c_{23} s_4) n_x + (c_1 c_4 - s_1 c_{23} s_4) n_y + s_4 s_{23} n_z\end{aligned}$$

$$\begin{aligned}\cos \theta_6 &= -\mathbf{s} \cdot \mathbf{y}_5 \\ &= (-s_1 c_4 - c_1 c_{23} s_4) s_x + (c_1 c_4 - s_1 c_{23} s_4) s_y + s_4 s_{23} s_z\end{aligned}$$

so erhält man, falls nicht der degenerierte Fall vorliegt, die Beziehung für  $\theta_6$

$$\theta_6 = \text{atan2}(\sin \theta_6, \cos \theta_6)$$



Video der WHS mit der Herleitung der geometrischen Rücktransformation für einen Kuka Knickarmroboter:

<https://www.youtube.com/watch?v=3s2x4QsD3uM>



## Rücktransformation mittels numerischem Ansatz

- Falls eine Rücktransformation mittels analytischem Ansatz nicht möglich ist, z. B. weil der Roboter einen Winkelhand besitzt, findet der numerische Ansatz Anwendung.
- Die numerische Berechnung basiert auf der Jacobi-Matrix. Die Jacobi-Matrix  $J$  beschreibt den Zusammenhang zwischen Gelenkgeschwindigkeiten  $\dot{q}$  und der Geschwindigkeit des TCP in Weltkoordinaten  $\dot{x}$ :

$$\dot{x} = J(q) \cdot \dot{q}$$

- Jede Spalte der Jacobi-Matrix beschreibt die Geschwindigkeiten in Weltkoordinaten in Abhängigkeit der Geschwindigkeit einer Gelenkachse.  $J$  hat somit eine Dimension von  $6 \times n$ , wobei  $n$  für die Anzahl der Gelenke steht.

- Näherungsweise gilt die Gleichung  $\dot{\mathbf{x}} = \mathbf{J}(\mathbf{q}) \cdot \dot{\mathbf{q}}$  auch für kleine Änderungen  $\Delta \mathbf{q}$  und  $\Delta \mathbf{x}$ :

$$\Delta \mathbf{x} = \mathbf{J}(\mathbf{q}) \cdot \Delta \mathbf{q}$$

Um auf die Rücktransformation zu lösen, wird diese Gleichung nun umgestellt:

$$\Delta \mathbf{q} = \mathbf{J}^{-1}(\mathbf{q}) \cdot \Delta \mathbf{x}$$

dazu muss die Matrix  $\mathbf{J}$  invertierbar sein.

- Ausgehend von einem Startpunkt der Gelenkwinkel  $\mathbf{q}_k$  kann die Lösung für  $\mathbf{q} = \mathbf{f}^{-1}(\mathbf{x})$  iterativ bestimmt werden:

$$\mathbf{q}_{k+1} = \mathbf{q}_k + \mathbf{J}^{-1}(\mathbf{q}_k) \cdot (\mathbf{x} - \mathbf{x}_k) \quad \text{mit} \quad \mathbf{x}_k = \mathbf{f}(\mathbf{q}_k)$$

- Sobald eine hinreichend genaue Lösung für  $\mathbf{x}$  gefunden ist, wird die Iteration abgebrochen.

$$|\mathbf{x} - \mathbf{x}_k| < \epsilon$$

- Die Inverse der Jacobi-Matrix kann nur gebildet werden, wenn diese quadratisch ist ( $n = 6$ ). Falls dies nicht der Fall ist, kann stattdessen die sogenannten Moore-Penrose-Inverse oder auch Pseudoinverse  $J^+$  verwendet werden. Mit ihr lässt sich ebenfalls das Problem der inversen Kinematik numerisch lösen.

$$J^+ = \begin{cases} J^T \cdot (J \cdot J^T)^{-1}, & \text{falls } n > 6 \\ (J^T \cdot J)^{-1} \cdot J^T, & \text{falls } n < 6 \end{cases}$$

- Die **analytische Jacobi-Matrix**  $J_a$  (*Analytical Jacobian*) wird durch Ableitung der Gleichungen der Vorwärtstransformation  $\mathbf{x} = \mathbf{f}(\mathbf{q})$  ermittelt. Hierbei wird jede Funktion der Position und Orientierung in Abhängigkeit der Gelenkvariablen  $q_1, \dots, q_n$  abgeleitet. Durch die Darstellung der Weltkoordinaten in Euler- oder Roll-Nick-Gier-Winkel ist diese Form der Herleitung nicht trivial.

$$J_a(\mathbf{q}) = \frac{\partial \mathbf{f}(\mathbf{q})}{\partial \mathbf{q}} = \begin{pmatrix} \frac{\partial f_1}{\partial q_1} & \frac{\partial f_1}{\partial q_2} & \dots & \frac{\partial f_1}{\partial q_n} \\ \vdots & \vdots & \ddots & \vdots \\ \frac{\partial f_6}{\partial q_1} & \frac{\partial f_6}{\partial q_2} & \dots & \frac{\partial f_6}{\partial q_n} \end{pmatrix}$$

## Berechnung der geometrischen Jacobi-Matrix mithilfe der DH-Matrizen

- Die ersten drei Zeilen der analytischen Jacobi-Matrix können durch partielle Ableitung des Positionsvektors relativ einfach bestimmt werden. Die letzten drei Zeilen erfordern eine komplexere Berechnungen, da die Orientierung (z.B. in Roll-Nick-Gier-Winkel) vor der partiellen Ableitung zuerst aus der Rotationsmatrix symbolisch berechnet werden muss.
- Eine **geometrische** Möglichkeit die **Jacobi-Matrix** (*Geometric Jacobian*) zu ermitteln, besteht in der Verwendung der Denavit-Hartenberg-Koordinatensysteme. Die Ableitung der Orientierung des Roboters wird dabei als vektorielle Winkelgeschwindigkeit (Vektor mit Winkelgeschwindigkeit) angenommen:

$$\dot{\mathbf{x}} = \mathbf{J}_g(\mathbf{q}) \cdot \dot{\mathbf{q}}$$

$$\text{mit } \dot{\mathbf{x}} = [\dot{v}_x, \dot{v}_y, \dot{v}_z, \dot{\omega}_x, \dot{\omega}_y, \dot{\omega}_z]^T \text{ und } \dot{\mathbf{q}} = [\dot{q}_1, \dots, \dot{q}_n]^T$$

- Jede Spalte der geometrischen Jacobi-Matrix hängt direkt von der Lage des jeweiligen Gelenks in Bezug zum Basiskoordinatensystem ab.
- Die Lage des  $i$ -ten Gelenks in Bezug zum Basiskoordinatensystem  $K_0$  wird durch die Lage der  $z_{i-1}$ -Achse (von  $K_{i-1}$ ) festgelegt. Diese kann aus der Transformationsmatrix  ${}^0T_{i-1}$  direkt abgelesen werden:

$${}^0T_{i-1} = {}^0T_1 \cdot {}^1T_2 \cdot \dots \cdot {}^{i-2}T_{i-1} = \begin{pmatrix} \mathbf{x}_{i-1} & \mathbf{y}_{i-1} & \mathbf{z}_{i-1} & \mathbf{p}_{i-1} \\ 0 & 0 & 0 & 1 \end{pmatrix}$$

- Für eine **Schubachse** kann die  $i$ -te Spalte der geometrischen Jacobi-Matrix direkt aus  $\mathbf{z}_{i-1}$  bestimmt werden:

$$\mathbf{J}_i^T = \begin{pmatrix} J_v \\ J_\omega \end{pmatrix} = \begin{pmatrix} \mathbf{z}_{i-1} \\ \mathbf{0} \end{pmatrix}$$

Eine Schubachse ändert die Orientierung des TCP nicht, deshalb sind die letzten drei Zeilen des Vektors gleich 0 ( $J_\omega = \mathbf{0}$ ). Die Änderung der Position  $J_v$  durch die Schubachse  $i$  ergibt sich direkt aus der Lage der  $z_{i-1}$ -Achse im Basiskoordinatensystem  $K_0$ .

- Bei **Rotationsgelenken** ergibt sich die  $i$ -te Spalte der Jacobi-Matrix wie folgt:

$$J_i^R = \begin{pmatrix} J_v \\ J_\omega \end{pmatrix} = \begin{pmatrix} z_{i-1} \times (\mathbf{p}_n - \mathbf{p}_{i-1}) \\ z_{i-1} \end{pmatrix}$$

Die Änderung der Orientierung  $J_\omega$  durch die Drehachse  $i$  ergibt sich direkt aus der Lage der  $z_{i-1}$ -Achse im Basiskoordinatensystem  $K_0$ . Die Änderung der Position  $J_v$  durch die Drehachse  $i$  hängt zudem noch vom „Hebelarm“  $\mathbf{p}_n - \mathbf{p}_{i-1}$  ab, der vom Ursprung  $K_{i-1}$  zum TCP reicht.  $\mathbf{p}_{i-1}$  kann aus der letzten Spalte von  ${}^0T_{i-1}$ ,  $\mathbf{p}_n$  aus  ${}^0T_n$  ermittelt werden.

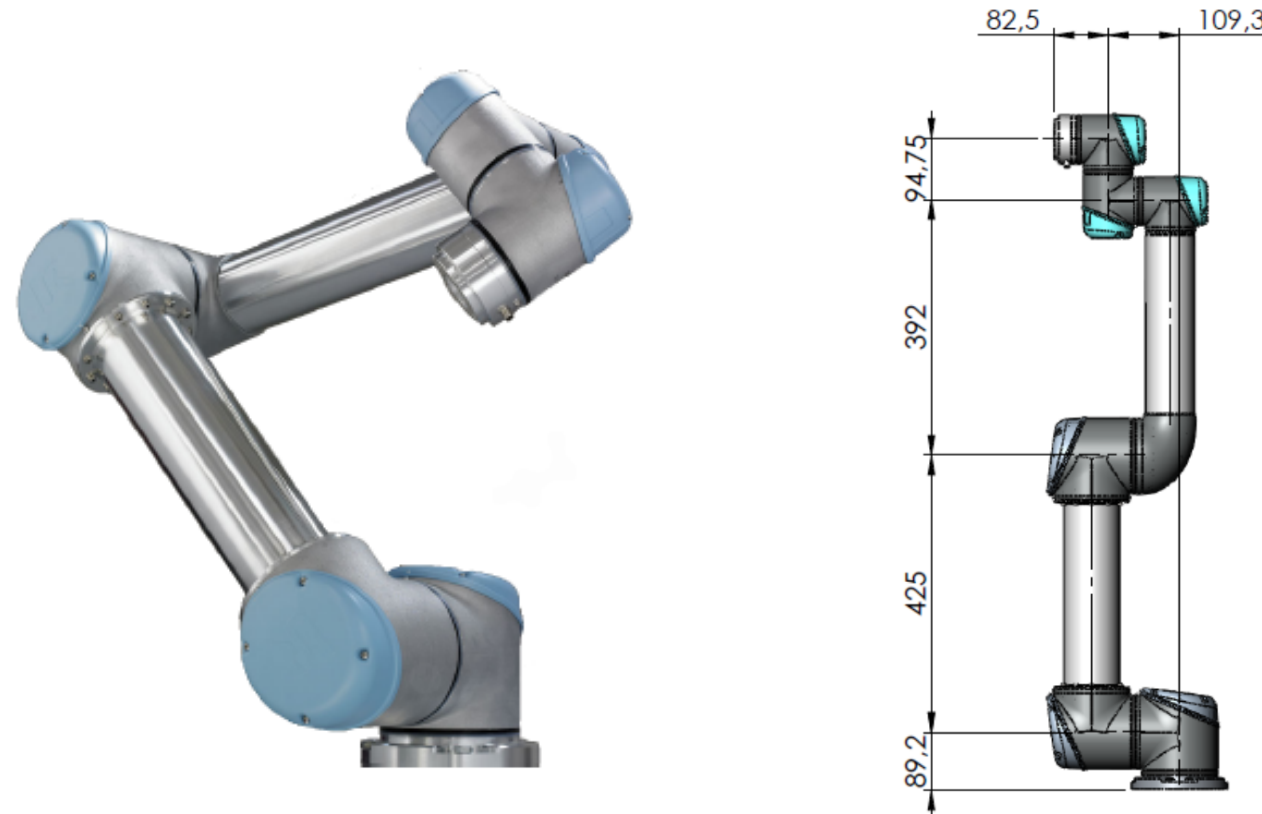
Wird die numerische Rücktransformation mittel geometrischer Jacobi-Matrix berechnet, muss die Orientierung in  $\Delta \mathbf{x} = \mathbf{x} - \mathbf{x}_k$  als vektorielle Drehung  $\boldsymbol{\omega} = [\omega_x, \omega_y, \omega_z]^T$  (Drehvektor/Drehwinkel) aus

den beiden Rotationsmatrizen bestimmt werden:

$$\begin{pmatrix} 0 & -\omega_z & \omega_y \\ \omega_z & 0 & -\omega_x \\ -\omega_y & \omega_x & 0 \end{pmatrix} = (\mathbf{R} \cdot \mathbf{R}_k^T - \mathbf{I}_{3 \times 3})$$

## Beispiel Universal UR5

Der Roboter Universal UR5 besitzt 6 Drehachsen einschließlich einer Winkelhand:



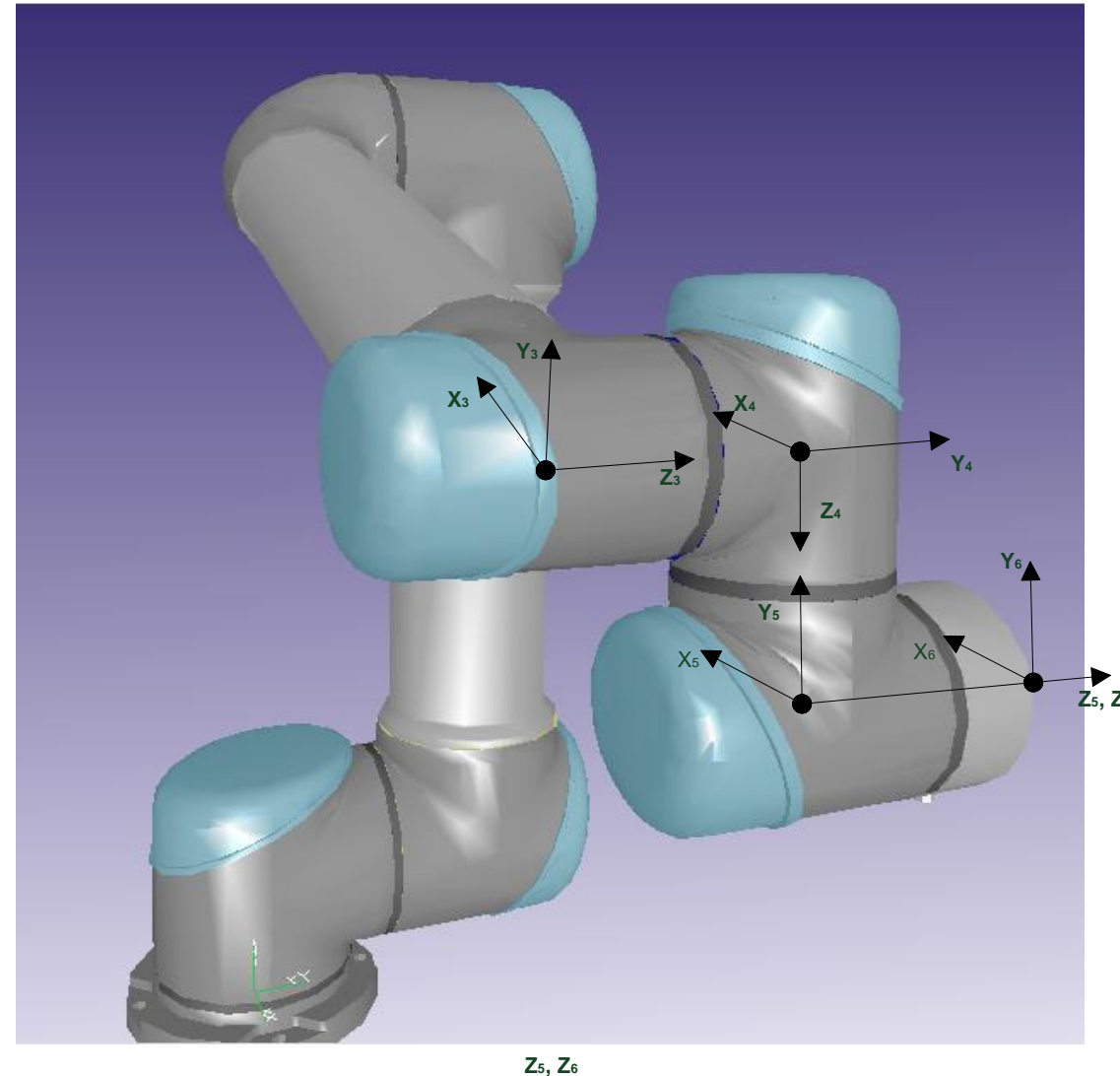
Durch die Winkelhand ist keine analytische Lösung der inversen Kinematik möglich.



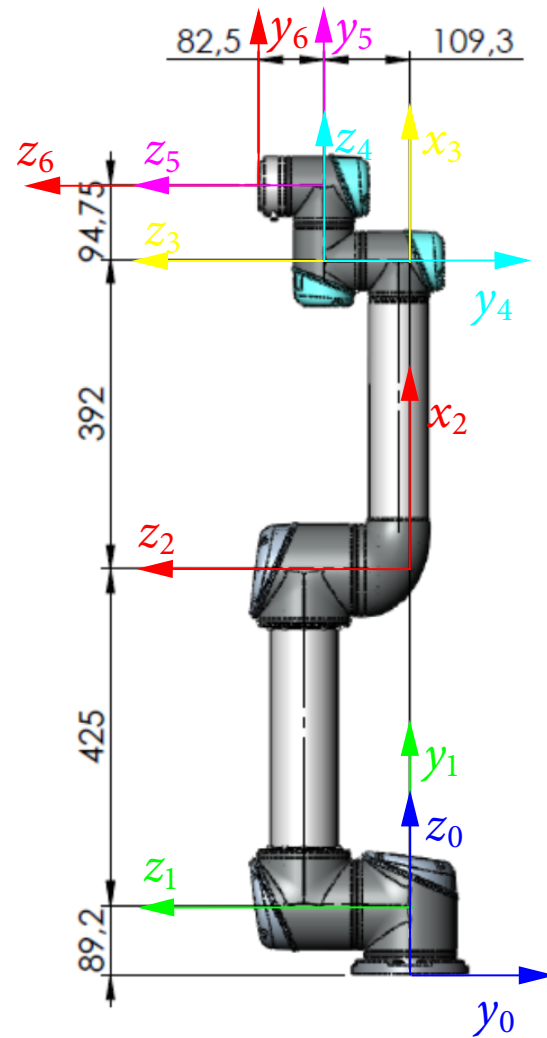
## Winkelhand des UR5

In der Abbildung wird die Winkelhand dreidimensional dargestellt. Hierbei handelt es sich um drei translatorische Versetzungen, um zu dem TCP zu gelangen.

Die Ausrichtung der Hand in der Abbildung entspricht der Nulllage (sämtliche  $\theta$ -Winkel des Handgelenks sind auf  $0^\circ$  gesetzt).



## DH-Parameter des UR5



$i$	$\theta_i$	$d_i$	$a_i$	$\alpha_i$
1	$\theta_1$	0,08920	0	$+90^\circ$
2	$\theta_2$	0	0,425	0
3	$\theta_3$	0	0,392	0
4	$\theta_4$	0,10930	0	$-90^\circ$
5	$\theta_5$	0,09475	0	$+90^\circ$
6	$\theta_6$	0,08250	0	0

## Robotics Toolbox von Peter Corke

Funktionen zu kinematischen Ketten:

Link	Konstruktor für ein Gelenk-Objekt
SerialLink	Konstruktor für eine kinematische Kette (Roboter)
plot	Methode von SerialLink zur Anzeige eines Roboters
teach	Methode von SerialLink zum Teach von Punkten eines Roboters
fkine	Vorwärtstransformation eines Roboters (SerialLink)
ikine	numerische Rückwärtstransformation eines Roboters (SerialLink)
ikine6s	Rückwärtstransformation für einen sechssachsigen Roboter mit Zentralhand
jacob0	Berechnung der Jacobi-Matrix (im Basiskoordinatensystem 0)

## Zusammenfassung

- **Industrieroboter** sind **stationäre Roboter**, die mit ihrem Chassis fest mit dem Boden verbunden sind. Die einzelnen Glieder stützen sich fortlaufend, mit dem Chassis beginnend, aufeinander ab. Sie bilden eine **offene kinematische Kette**, deren letztes Glied das Werkzeug bildet. Bei stationären Robotern kommen Drehgelenke und Schubgelenke vor. Die Lage eines Drehgelenkes wird durch den Drehwinkel, die Lage eines Schubgelenkes durch die Ausfahrweite beschrieben.
- Die **mechanischen Freiheitsgrade** (Achsen, Gelenke) des Roboters werden Freiheitsgrade des **Konfigurationsraums** genannt.
- Ein freier starrer Körper besitzt drei translatorische Freiheitsgrade und drei rotatorische Freiheitsgrade im **Arbeitsraum**.
- Die **Vorwärtstransformation** ist die Bestimmung der Variablen des Arbeitsraums aus den Variablen des Konfigurationsraums, die **Rücktransformation**, auch inverses kinematisches Problem, ist die Bestimmung der Variablen des Konfigurationsraums aus den Variablen des Arbeitsraums.

- Das **Denavit-Hartenberg** Verfahren dient zur kinematischen Modellierung stationärer Roboter. Es wird jedem **Teilkörper** eines Roboters ein körperfestes Koordinatensystem zugeordnet und die **homogenen Transformationen** zwischen aufeinanderfolgenden Koordinatensystemen bestimmt. Das Ziel ist, die **Position und die Orientierung des Werkzeuges** in Abhängigkeit von der Stellung der einzelnen Achsen **in Basiskoordinaten** zu beschreiben (S. 255).
- Bei der **Rücktransformation mittels geometrischem Ansatz** wird die Aufgabe in zwei voneinander unabhängigen Teilproblemen aufgeteilt und gelöst, Voraussetzung dafür ist die **Zentralhand** (S. 280).
- Die **Rücktransformation mittels numerischem Ansatz** basiert auf der Jacobi-Matrix. Die Jacobi-Matrix  $J$  beschreibt den Zusammenhang zwischen Gelenkgeschwindigkeiten  $\dot{q}$  und der Geschwindigkeit des TCP in Weltkoordinaten  $\dot{x} = J(q) \cdot \dot{q}$  (S. 308).

## Lernziele

- Sie kennen die Klassifizierung von Handhabungsgeräten.
- Sie können die Begriffe Industrieroboter, Basiskoordinatensystem und Werkzeugkoordinatensystem definieren.
- Sie können den Unterschied zwischen Freiheitsgrad im Konfigurationsraum und Freiheitsgrad im Operationstraum erläutern.
- Sie können die Begriffe Vorwärtstransformation und Rückwärtstransformation erläutern.
- Sie kennen Beispiele für redundante Kinematiken.
- Sie kennen den Begriff der offenen und geschlossenen kinematischen Kette.
- Sie kennen die Achskoordinatensysteme nach Denavit und Hartenberg (DH) und können diese für vorgegebene Roboter aufstellen.

- Sie können die homogenen Transformationsmatritzen nach DH aufstellen.
- Sie können mittels DH-Matritzen die Vorwärtstransformation für einen vorgegebenen Roboter aufstellen.
- Sie kennen den geometrischen Ansatz zur Lösung des inversen kinematischen Problems (Rücktransformation).
- Sie kennen den Begriff der Zentralhand und können die Bedeutung der Zentralhand für die Rücktransformation erläutern.
- Sie können die Rücktransformation mittels geometrischem Ansatz für einfache (planare) Roboter aufstellen.
- Sie können das Verfahren zur numerischen Lösung der Rücktransformation mittels Jacobi-Matrix erläutern.
- Sie kennen das Verfahren um die Jacobi-Matrix aus den DH-Matritzen zu erstellen.

- Sie können die Jacobi-Matrix aus den DH-Matrizen für einfache (planare) Roboter aufstellen.